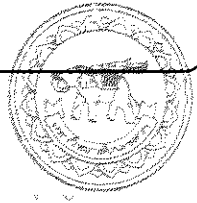


ลักษณะเลขที่ \*R2562B036\*



สำนักหอสมุด

## รายงานการวิจัยฉบับสมบูรณ์

เรื่อง

การศึกษาการสร้างชั้นฟองอากาศเคลือบผิวใบเพื่อเพิ่มประสิทธิภาพความ  
ทนทานน้ำท่วมฉับพลันของข้าวไทยสายพันธุ์ต่างๆ

Investigating the formation of leaf gas film to improve flash-flooding tolerance in Thai rice varieties

คณบดีวิจัย

ดร.เทพสุดา รุ่งรัตน์

สังกัด

คณบดีเกษตรศาสตร์ ทรัพยากรธรรมชาติและสิ่งแวดล้อม

สำเนา	ฉบับที่	หน้าที่	จำนวนหน้า
ฉบับที่ 1	1	2	2564
ฉบับที่ 2	1039438		
ฉบับที่ 3	3	SB	
	191		
	45		
	กบ338		
	2562		

สนับสนุนโดย

งบประมาณรายได้มหาวิทยาลัยนเรศวร

ปีงบประมาณ พ.ศ. 2562

## Executive Summary

ชื่อเรื่อง : การศึกษาการสร้างชั้นฟองอากาศเคลือบผิวใบเพื่อเพิ่มประสิทธิภาพความทันหนาน้ำท่วมฉับพลันของข้าวไทยสายพันธุ์ต่างๆ

ผู้วิจัย : ดร.เทพสุดา รุ่งรัตน์

สักกัด : คณะเกษตรศาสตร์ ทรัพยากรธรรมชาติและสิ่งแวดล้อม มหาวิทยาลัยนเรศวร

ปีที่จัดทำ: 2563

แหล่งทุน: งบประมาณรายได้มหาวิทยาลัยนเรศวร ประจำปีงบประมาณ 2562

---

โครงการวิจัยเรื่อง การศึกษาการสร้างชั้นฟองอากาศเคลือบผิวใบเพื่อเพิ่มประสิทธิภาพความทันหนาน้ำท่วมฉับพลันของข้าวไทยสายพันธุ์ต่างๆ มีวัตถุประสงค์เพื่อ (1) เพื่อศึกษาและประเมินความสามารถในการสร้างฟองอากาศ (gas film) ภายใต้สภาวะน้ำท่วมฉับพลันที่ระยะการเจริญเติบโตต่างๆ ในข้าวไทย (2) ศึกษาระยะเวลาที่ gas film สามารถอยู่ได้ภายใต้สภาวะน้ำท่วมฉับพลัน และ (3) เพื่อคัดเลือกพันธุ์ข้าวไทยที่สามารถสร้าง gas film และทนน้ำท่วมฉับพลันได้ดีที่สุด

สรุปผลการวิจัยสภาวะน้ำท่วมมีผลต่อการเจริญเติบโตของข้าวในระยะแตกกอเต็มที่ โดยทำให้ข้าวมีค่าความสูงเพิ่มขึ้น และมีเปอร์เซ็นต์การยึดตัวที่เพิ่มขึ้นแตกต่างกันในแต่ละพันธุ์ ความสามารถในการสร้างชั้นฟองอากาศเคลือบผิวใบในข้าวทั้ง 6 พันธุ์นั้น สามารถสังเกตได้ภายหลังจากอยู่ในสภาวะน้ำท่วมเป็นเวลา 6 ชั่วโมง ข้าวพันธุ์ Chonlasit แสดงปริมาณของ gas film มากที่สุด เมื่อเปรียบเทียบกับพันธุ์อื่นๆ ค่าความเจริญของใบ (SPAD unit) และค่าประสิทธิภาพการสังเคราะห์แสง ( $F_v/F_m$ ) ของข้าวทั้ง 6 พันธุ์ลดลงอย่างมีนัยสำคัญทางสถิติในข้าวที่มีความทันหนาน้ำท่วมในระดับหนาแน่นและปานกลาง เมื่ออยู่ในสภาวะน้ำท่วมฉับพลันเป็นเวลา 10 วัน ในขณะที่ข้าวพันธุ์ทันน้ำท่วม Chonlasit และ RD51 ไม่มีความแตกต่างกันทางสถิติ จากผลการทดลองระดับความทันหนาน้ำท่วมในระยะแตกกอเต็มที่ พบว่า ข้าวพันธุ์ Chonlasit และ RD51 มีระดับความทันหนาน้ำท่วมฉับพลันสูง ในขณะที่พันธุ์ PL2 PT1 และ RD61 แสดงประสิทธิภาพความทันหนาน้ำท่วมอยู่ในระดับหนาแน่นและ KDM1.105 อยู่ในระดับหนาแน่นปานกลาง ผลการศึกษาครั้งนี้แสดงให้เห็นว่า ค่า chlorophyll fluorescence เพื่อประเมินค่าประสิทธิภาพการสังเคราะห์แสงในสภาวะน้ำท่วม สามารถนำมาประยุกต์ใช้เพื่อการประเมินพันธุ์ข้าวทันน้ำท่วมฉับพลันได้

## บทคัดย่อ

การศึกษาผลกระทบของน้ำท่วมฉับพลันต่อการสร้างฟองอากาศเคลือบผิวใบข้าว เจริญเติบโต และลักษณะทางสีริวิทยาของข้าวในระยะกล้า และระยะแทกออกเต็มที่ ทำการวางแผนการทดลองแบบ  $2 \times 6$  factorial in Completely Randomize Design (CRD) โดยมีปัจจัยแรกคือรูปแบบการปลูก มีสองระดับ คือ สภาวะปกติ และ สภาวะน้ำท่วม ปัจจัยที่สองคือพันธุ์ข้าว มี 6 พันธุ์ ได้แก่ ข้าวหอมชลสิทธิ์ (Chonlasit), พิษณุโลก 2 (PSL2) ปทุมธานี 1 (PT1), กข51 (RD51), กข61(RD6) และ ข้าวขาว-domal 105 (KDM105) ผลการทดลองพบว่า สภาวะน้ำท่วมมีผลต่อการเจริญเติบโตของข้าวในระยะแทกออกเต็มที่ โดยทำให้ข้าวมีค่าความสูงเพิ่มขึ้น และมีเปอร์เซ็นต์การยึดตัวที่เพิ่มขึ้นแตกต่างกันในแต่ละพันธุ์ ความสามารถในการสร้างชั้นฟองอากาศเคลือบผิวใบในข้าวทั้ง 6 พันธุ์นั้น สามารถดำเนินการได้ภายหลังจากอยู่ในสภาวะน้ำท่วมเป็นเวลา 6 ชั่วโมง ข้าวพันธุ์ Chonlasit แสดงปริมาณของ gas film มากที่สุด เมื่อเปรียบเทียบกับพันธุ์อื่นๆ ค่าความเขียวของใบ (SPAD unit) และค่าประสิทธิภาพการสังเคราะห์แสง (Fv/Fm) ของข้าวทั้ง 6 พันธุ์ลดลงอย่างมีนัยสำคัญทางสถิติในข้าวที่มีความทนทานน้ำท่วมในระดับทนทานและปานกลาง เมื่ออยู่ในสภาวะน้ำท่วมฉับพลันเป็นเวลา 10 วัน ในขณะที่ข้าวพันธุ์ทนน้ำท่วม Chonlasit และ RD51 ไม่มีความแตกต่างกันทางสถิติ จากผลการทดลองระดับความทนทานน้ำท่วมในระยะแทกออกเต็มที่ พบว่า ข้าวพันธุ์ Chonlasit และ RD51 มีระดับความทนทานน้ำท่วมฉับพลันสูง ในขณะที่พันธุ์ PSL2 PT1 และ RD61 แสดงประสิทธิภาพความทนน้ำท่วมอยู่ในระดับทนทาน และ KDM105 อยู่ในระดับทนทานปานกลาง ผลการศึกษาครั้งนี้แสดงให้เห็นว่า ค่า chlorophyll fluorescence เพื่อประเมินค่าประสิทธิภาพการสังเคราะห์แสงในสภาวะน้ำท่วม สามารถนำมาประยุกต์ใช้เพื่อการประเมินพันธุ์ข้าวทนน้ำท่วมฉับพลันได้

คำสำคัญ: ข้าว น้ำท่วมฉับพลัน ฟองอากาศ ประสิทธิภาพการสังเคราะห์แสง

## **Abstract**

The objective of this study is to investigate the impact of flash flooding to leaf gas films, the growth and some physiological parameters at tilling stage. The experimental design was conducted in 2 x 6 factorial in Completely Randomize Design (CRD). The first factor was growth conditions which was consist of control and submergence. The second factor was rice varieties including Chonlasit, Phitsanulok 2 (PSL2), Pathum Thani 1 (PT1), RD51, RD61 and KDM105. The results showed that flash flood condition had affected on growth and development to all rice varieties by increasing plant height and %elongation which presented differently depending on the variety. Leaf gas films of all six varieties were observed after 6 hrs of submergence. Chonlasit and PSL2 presented much volume of leaf gas films in comparison with other varieties. Leaf greenness (SPAD unit) and maximum quantum efficiency of PSII photochemistry ( $F_v/F_m$ ) values decreased significantly after submerged for 10 days in the tolerance and moderate tolerance varieties in comparison to the control condition. For the high tolerance varieties such as Chonlasit and RD51, there was non-significant difference in the decreasing of SPAD unit and  $F_v/F_m$  values. PSL2, PT1 and RD61 were categories as tolerate variety. Whereas, KDM105 was moderate tolerance variety. The results presented here suggested that chlorophyll fluorescence measurement can be used as a technique to evaluate flash flood tolerance in Thai rice variety.

**Keywords:** Rice, flash-flooding, leaf gas film, quantum yield efficiency of PSII

## สารบัญเรื่อง

Executive Summary .....	i
บทคัดย่อ.....	ii
Abstract.....	iii
สารบัญเรื่อง.....	iv
สารบัญภาพ.....	v
สารบัญตาราง.....	vi
สารบัญภาคผนวก .....	vii
บทที่ 1 บทนำ.....	1
1.1 ความสำคัญและที่มาของปัญหา .....	1
บทที่ 2 เอกสารงานวิจัยที่เกี่ยวข้อง .....	2
บทที่ 3 วิธีการดำเนินงาน.....	6
บทที่ 4 ผลการวิจัยและวิจารณ์ผล .....	9
บทที่ 5 สรุปและข้อเสนอแนะ.....	13
ภาคผนวก.....	14
เอกสารอ้างอิง.....	31

## สารบัญภาพ

Figure 1 แสดงความแตกต่างของการเกิดขั้นฟองอากาศและไม่มีการสร้างขั้นฟองอากาศในใบพืชในสภาวะใต้น้ำ พืชที่สามารถสร้างขั้นฟองอากาศที่แผ่นใบได้ในขณะปกปิด (a) และในขณะบางปิด (b) แสดงใบพืชที่ไม่สามารถสร้างขั้นฟองอากาศเคลือบแผ่นใบในขณะปิด (c) และ ในขณะปักปิด (d) (Verboven et al., 2014) ..... 5

Figure 2 The average of plant height (cm) of six varieties under control and submergence condition (a). The percentage of plant elongation from original (relative to control) of each varieties (b). Data present mean SE, n=5. \*\*, \*\*\* indicates significant differences at  $p \leq 0.05$ , and  $p \leq 0.01$ , respectively

..... 10



## สารบัญตาราง

Table 1 The statistical results of SPAD value and Fv/Fm of six rice varieties grown under control and submergence condition. P-value are given for “variety”, “condition”, and “variety vs condition”; n.s. = not significant; \* = p-value  $\leq 0.05$ ; \*\* = p-value  $\leq 0.01$ .....11

Table 2 Submergence tolerance and % death of tiller of six rice varieties after submerged for 10 days. .....12



## สารบัญภาคผนวก

Figure A 1 ในตอนรับเพื่อตีพิมพ์บนพื้นในวารสารเกษตรศาสตร์ ปีที่ 17 ฉบับที่ 1 เดือนมกราคม – มิถุนายน 2563... 15  
Figure A 2 Journal of Advanced Agricultural Technologies (JOAAT) Volume 7, Number 2.....25



## บทที่ 1 บทนำ

### 1.1 ความสำคัญและที่มาของปัญหา

การปลูกข้าวในประเทศไทยมีการกระจายตัวอยู่ทั่วทุกพื้นที่ ทั้งในเขตพื้นที่ชลประทาน และในเขตพื้นที่อาศัยแหล่งน้ำตามธรรมชาติ ด้วยปัจจุบันเกษตรกรประสบภัยปัญหากัยธรรมชาติ เนื่องมาจากสภาวะโลกร้อน ซึ่งส่งผลให้ผลผลิตข้าวลดปริมาณลงอย่างมีนัยสำคัญ (Tooijinda et al., 2005) การเปลี่ยนแปลงของสภาพอากาศนี้ยังส่งผลให้การกระจายตัวของปริมาณน้ำฝนไม่สม่ำเสมอ ทำให้เกิดน้ำท่วมฉับพลัน (flash-flood) หรือฝนแห้ง (drought) ในบางพื้นที่ และมีการระบาดของโรคและแมลงเพิ่มมากขึ้น (Tooijinda et al., 2005; Wassamann et al., 2009) การเกิดน้ำท่วมฉับพลันในประเทศไทยจัดเป็นหนึ่งในปัญหาสำคัญที่ส่งผลกระทบต่อการดำเนินของเกษตรกรอย่างมาก ซึ่งสร้างความเสียหายต่อผลผลิตข้าวอย่างมีนัยสำคัญ และอาจเกิดขึ้นได้ในทุกพื้นที่ หนึ่งในวิธีการแก้ปัญหาน้ำท่วมฉับพลันในข้าวที่ได้ผลดีที่สุด และลงทุนน้อย คือการพัฒนาความทันทันต่อน้ำท่วมและทนต่อน้ำท่วมฉับพลันในข้าวไทย โดยวิธีการปรับปรุงพันธุ์ ซึ่งอาจจะใช้ทั้งการปรับปรุงพันธุ์โดยวิธีมาตรฐาน และการใช้เทคโนโลยีชีวภาพ นอกจากการพัฒนาพันธุ์ข้าวให้ทนทานต่อน้ำท่วมฉับพลันแล้ว การพื้นตัวหลังน้ำลดก็ยังเป็นอีกปัจจัยที่มีความสำคัญเช่นกัน ดังนั้นการพัฒนาพันธุ์ข้าวเพื่อให้ทนทานต่อสภาวะน้ำท่วมนั้น จึงจัดว่ามีความจำเป็นอย่างยิ่งต่อเกษตรกรไทย เพื่อใช้เป็นพันธุ์ทางเลือกสำหรับเกษตรกรในพื้นที่ฯ มีความเสียงต่อปัญหาน้ำท่วมฉับพลัน สำหรับการศึกษาวิจัยพัฒนาข้าวทนน้ำท่วมในประเทศไทยและต่างประเทศนั้น ได้มีการศึกษากันอย่างกว้างขวางทั้งโดยวิธีมาตรฐาน และการใช้เทคโนโลยีสมัยใหม่

จากความสำเร็จในการค้นพันยืนที่ควบคุมลักษณะการทนน้ำท่วมฉับพลันอย่าง sub1 ที่ทำให้การพัฒนาพันธุ์ข้าวทนน้ำท่วมโดยวิธีการถ่ายทอดยืนมีความก้าวหน้าอย่างรวดเร็ว และประสบผลสำเร็จแล้วในหลายพื้นที่ (Nandi et al., 1997; Xu et al., 2000; Tooijinda et al., 2003) อย่างไรก็ตามยังมีyang มีการศึกษาถึงประสิทธิภาพการสังเคราะห์แสงของข้าวเมื่อยู่ภายใต้สภาวะน้ำท่วม (Pedersen et al., 2013) ซึ่งจัดว่าเป็นแนวทางการศึกษาใหม่ที่ยังไม่ได้ทำการศึกษาในข้าวไทย โดยพบว่าข้าวบางพันธุ์ที่สามารถสร้างชั้นฟองอากาศ (gas film) เคลือบแผ่นใบได้ เมื่อยู่ภายใต้สภาวะน้ำท่วมขัง (Mommert and Visser 2005; Colmer et al. 2011; Verboven et al., 2014) ดังนั้น เมื่อต้นข้าวสามารถทำการสังเคราะห์แสงแม้ในขณะอยู่ใต้น้ำ จะส่งผลให้มีการเจริญเติบโตที่สมบูรณ์ และสามารถให้ผลผลิตได้ในปริมาณเหมาะสม ยิ่งพันธุ์ข้าวที่สามารถรักษาฟองอากาศที่เคลือบแผ่นใบได้นานเท่าไหร่ ความสามารถในการอยู่รอดภายใต้สภาวะน้ำท่วมก็จะนานขึ้นตามไปด้วย ความสามารถในการสร้างชั้นฟองอากาศเคลือบแผ่นใบนั้นจะแตกต่างกัน ขึ้นอยู่กับพันธุ์

ดังนั้นผู้วิจัยจึงเห็นว่าการศึกษาการเกิดฟองอากาศเคลือบแผ่นใบในข้าวไทยสายพันธุ์ต่างๆ จัดว่าเป็นอีกหนึ่งปัจจัย ที่สามารถนำมาใช้ในการประเมินความสามารถในการทนทานต่อสภาพน้ำขังของข้าวพันธุ์ต่างๆ ซึ่งจะมีประโยชน์ต่อการศึกษาหารยืนหรือกลุ่มยืนที่ควบคุมลักษณะดังกล่าวในข้าวไทย เพื่อใช้เป็นแนวทางและเป็นอีกหนึ่งทางเลือกสำหรับโครงการปรับปรุงพันธุ์ข้าวทนน้ำท่วมต่อไปในอนาคต

## บทที่ 2 เอกสารงานวิจัยที่เกี่ยวข้อง

ข้าว (*Oryza sativa L.*) จัดเป็นพืชอาหารหลักของประเทศไทย ทั้งการผลิตเพื่อปริมาณภายในประเทศ และส่งออกยังต่างประเทศ อีกทั้งยังเป็นพืชอาหารที่มีความสำคัญอันดับต้นๆ ของโลก การปลูกข้าวในประเทศไทย มีการกระจายตัวอยู่ทั่วทุกพื้นที่ ทั้งในเขตพื้นที่ชลประทาน และในเขตพื้นที่อาศัยแหล่งน้ำตามธรรมชาติ ซึ่ง 70% ของพื้นที่ปลูกทั้งหมด เป็นพื้นที่รกร้าง แม้ประเทศไทยจะเป็นประเทศหนึ่งที่มีการส่งออกข้าวเป็นอันดับหนึ่งของโลก แต่ปริมาณผลผลิตข้าวต่อไร่ ยังอยู่ในเกณฑ์ต่ำ ในปีการเพาะปลูก 2558/2559 ผลผลิตเฉลี่ยต่อไร่อยู่ที่ 419 กิโลกรัมต่อไร่ (สำนักงานเศรษฐกิจการเกษตร, 2560) ทั้งนี้อาจเป็นเพาเวอร์ทรัฟฟิกที่ประสบภัยธรรมชาติ เนื่องมาจากสภาพอากาศร้อน ซึ่งส่งผลให้ผลผลิตข้าวลดปริมาณลงอย่างมีนัยสำคัญ การเปลี่ยนแปลงของสภาพอากาศนี้ยังส่งผลให้การกระจายตัวของปริมาณน้ำฝนไม่สม่ำเสมอ ทำให้เกิดน้ำท่วมฉับพลัน (flash-flood) หรือ ฝนแล้ง (drought) ในบางพื้นที่ และมีการระบาดของโรคและแมลงเพิ่มมากขึ้น (Tooijinda et al., 2005; Wassamann et al., 2009) ปัจจุบันการเกิดปัญหาน้ำท่วมฉับพลันในประเทศไทยจัดเป็นหนึ่งในปัญหาสำคัญของพื้นที่ปลูกข้าวที่อาศัยน้ำฝน ซึ่งส่งผลกระทบต่อการทำนาของเกษตรกรอย่างมาก โดยเฉพาะอย่างยิ่งในปีที่มีปริมาณน้ำฝนมากเกินความต้องการ ส่งผลให้เกิดน้ำท่วมแบบฉับพลัน และสามารถสร้างความเสียหายต่อข้าวได้ในทุกระยะการเจริญเติบโต ตั้งแต่ต้นกล้าจนถึงระยะการให้ผลผลิต โดยสามารถส่งผลให้ผลผลิตข้าวลดลงสูงถึงร้อยละ 50% (Devender and Mittra, 1985; Jenjira et al., 2017) สำหรับประเทศไทย พบร่วมพื้นที่ปลูกข้าวประมาณ 70% ที่มีโอกาสประสบปัญหาน้ำท่วม เนื่องจากเป็นพื้นที่รกร้าง และไม่มีระบบการระบายน้ำที่ดีพอ ประกอบกับมีปริมาณฝนตกที่หนักถึงหนักมากในบางปี ส่งผลให้เกิดน้ำท่วมฉับพลัน ซึ่งสร้างความเสียหายต่อผลผลิตข้าวเป็นอย่างมาก

### การเจริญเติบโตของต้นข้าว

ต้นข้าวเจริญเติบโตทางต้นและทางการสืบพันธุ์ โดยมีระยะเวลาของการเจริญเติบโตทั้งสองทางแยกกัน คือ

1. การเจริญเติบโตทางลำต้น (Vegetative growth phase) เริ่มตั้งแต่ต้นข้าวออกอกรากเมล็ดข้าวไปจนถึงวันที่สร้างรวงอ่อนหรือช่อดอก ใช้เวลาแตกต่างกันขึ้นอยู่กับพันธุ์ข้าว ระยะนี้อาจประกอบด้วยระยะย่อย 2 ระยะ คือ

1.1 Basic vegetative phase หรือ Active vegetative phase หมายถึง ระยะเวลาที่น้อยที่สุดที่ข้าวต้องการเพื่อการเจริญเติบโตทางลำต้นก่อนที่ข้าวจะเริ่มสร้างรวงอ่อน (initiate a panicle primodium)

1.2 Photoperiod – sensitive phase หรือ Lag vegetative phase หมายถึง ช่วงเวลาที่ข้าวต้องการจำนวนชั่วโมงที่ได้รับแสงต่อวันเพื่อการออกดอก ระยะนี้จะไม่พบในข้าวทุกพันธุ์

สำหรับระยะ Basic vegetative phase ของข้าวส่วนมากจะมีระยะเวลา 25-26 วัน ส่วนระยะ Lag vegetative phase มักจะเปลี่ยนแปลงไปตามความยาวของช่วงแสง โดยเฉพาะข้าวพันธุ์ที่ไวต่อช่วงแสง (Vergara, 1970) ในการเจริญเติบโตทางลำต้น โดยต้นข้าวจะสร้างราก ลำต้น ใน และการแตกกอ ทำการสะสมอาหารไว้สำหรับการเจริญเติบโตในระยะสืบพันธุ์ในส่วนต่างๆ

2. การเจริญเติบโตทางการสืบพันธุ์ (Reproductive growth phase) เริ่มตั้งแต่วันที่ต้นข้าวสร้างดอกอ่อนจนถึงวันที่รวงเริ่มผลออกจากรากใบ ซึ่งใช้เวลาประมาณ 30–40 วัน หรือประมาณ 35 วัน (Vergara, 1970) ระยะแรกเรียกว่าข้าวแต่งตัว ต่อมารวงมีขนาดใหญ่พอสมควรทำให้ต้นข้าวอ้วนกลม ป่องออก เรียกว่าข้าวตั้งห้อง ระยะที่รวงข้าวเริ่มผลออกจากลำต้น เรียกว่าข้าวโพล่ง ต้นข้าวจะสร้างส่วนต่างๆ ของช่อดอก หรือรวงข้าว (panicle) และดอกข้าว (spikelet)

### ผลกระทบจากสภาพน้ำท่วมต่อการให้ผลผลิตข้าว

ปัจจุบัน โลกกำลังประสบกับภาวะโลกร้อน (Global warming) ซึ่งส่งผลให้อุณหภูมิเฉลี่ยของทั่วโลกเพิ่มขึ้นเป็นลำดับ ประเทศไทยถูกจัดอยู่ในกลุ่มประเทศที่จะได้รับผลกระทบจากการเพิ่มขึ้นของอุณหภูมิเฉลี่ยโลก (Laborte et al., 2012) และได้มีการคาดการณ์ว่าการเพิ่มขึ้นของอุณหภูมิโลกจะส่งผลให้ผลผลิตพืชอาหารส่วนใหญ่ลดลง (Asseng et al., 2015; Peng, et al., 2004) โดยทุกๆ  $1^{\circ}\text{C}$  ของอุณหภูมิเฉลี่ยโลกที่เพิ่มขึ้นจะมีผลให้ผลผลิตข้าวลดลง 10% (Peng, et al., 2004) เป็นผลให้คุณภาพมีการเปลี่ยนแปลงไป ฝนไม่ตกต้องตามฤดูกาล หรือปัญหาปริมาณน้ำฝนมีมากเกินความต้องการ สิ่งต่างๆ เหล่านี้ล้วนส่งผลกระทบต่อภาคการเกษตรของไทยเป็นอย่างยิ่ง การเกิดน้ำท่วมฉับพลันนั้นสามารถเกิดได้ในทุกสถานที่ที่เป็นที่ราบต่ำ หรือทางผ่านของน้ำ และการระบายน้ำออกของน้ำไม่ดีพอ และสามารถเกิดได้ทุกช่วงระยะเวลาเจริญเติบโตของข้าว ได้มีการศึกษาพบว่าหากเกิดน้ำท่วมน้ำท่วมฉับพลันในระยะที่ข้าวกำลังแห้งช่อดอก หรือระยะดอกบานเป็นระยะที่ส่งผลกระทบรุนแรงที่สุดต่อการให้ผลผลิต เนื่องจากข้าวจะไม่เกิดการผสมเกสร ผลผลิตให้เปอร์เซ็นต์การติดเมล็ดลดลงจนถึงไม่ติดเมล็ดเลย หากน้ำท่วมน้ำท่วมฉับพลันเกิดในระยะการเจริญเติบโตทางลำต้นและใบ ก็จะส่งผลให้การเจริญเติบโตหยุดชะงักไปชั่วขณะหนึ่ง ทำให้ปริมาณผลผลิตลดลงได้ เนื่องจากต้นข้าวไม่มีความสมบูรณ์เพียงพอ

### ยืนหนึ้นน้ำท่วมฉับพลัน sub1

ลักษณะน้ำท่วมฉับพลันของข้าวถูกควบคุมด้วย major QTL sub1 บนโครโน่โซมคู่ที่ 9 ซึ่งเกี่ยวข้องกับการรอดชีวิตของข้าวภายใต้สภาวะน้ำท่วมสูงถึง 69% (Xu and Mackill, 1996) และได้รับอิทธิพลจาก minor QTL บนโครโน่โซม 1, 2, 5, 7, 10 และ 11 (Siangliw et al., 2003) ปัจจุบันความก้าวหน้าทางด้านจีโนมิกส์ทำให้สามารถโคลนยืน sub1 ได้สำเร็จ ยืนหนึ้นน้ำท่วมฉับพลัน sub1 ทำหน้าที่ลดการเจริญเติบโตของต้นข้าวในสภาพน้ำขัง เพื่อเก็บพลังงานไว้ใช้หลังน้ำลด และยังลดการเกิด chlorosis ของเนื้อเยื่อต่างๆ จากการค้นพบยืนดังกล่าว ทำให้มีการปรับปรุงพันธุ์ข้าวให้ทนต่อน้ำท่วมฉับพลันในโครงการปรับปรุงพันธุ์ข้าวของสถาบันต่างๆ สำหรับประเทศไทย หน่วยปฏิบัติการค้นหาและใช้ประโยชน์ยืนข้าว ศูนย์พันธุวิศวกรรมและเทคโนโลยีชีวภาพแห่งชาติ ได้นำยืนดังกล่าวจากพันธุ์ FR13A IR49830 และ IR57514 มาปรับปรุงพันธุ์ข้าวของไทย ทั้งข้าวนานาชนิด

และนาชาลประทานโดยใช้เทคโนโลยีเคลื่อนหมายโลเลกุล ทำให้ปัจจุบันประเทศไทยมีพันธุ์ข้าวทนน้ำท่วมหลายสายพันธุ์ เช่น ข้าวขาวดอกมะลิ 105 ทนน้ำท่วม (หอมมะลิ 80), หอมชลสิทธิ์ และ กข 51 เป็นต้น

### Leaf gas films

เมื่อพิชิต้องอยู่ภายใต้สภาพน้ำท่วม พืชบางชนิดสามารถสร้าง leaf gas film หรือ ชั้นฟองอากาศเคลือบแผ่นใบได้ การมี gas film เคลือบแผ่นใบเมื่อพืชอยู่ในน้ำนั้นสามารถช่วยให้พืชเกิดการแลกเปลี่ยนกําช ออกซิเจน และคาร์บอนไดออกไซด์ เพื่อนำไปใช้ในกระบวนการสังเคราะห์แสง และกระบวนการหายใจของพืช การศึกษาการเกิด leaf gas film ในข้าวแสดงให้เห็นถึงกระบวนการหายใจในที่มีดโดยใช้ ออกซิเจน ที่มีอยู่ในฟองอากาศเคลือบที่แผ่นใบในสภาพน้ำท่วม และกระบวนการสังเคราะห์แสงในเวลากลางวัน โดยใช้กําชการบอนไดออกไซด์ ที่มีอยู่ในฟองอากาศ ได้อย่างปกติ เมื่อเปรียบเทียบกับพันธุ์ข้าวที่ไม่สามารถสร้าง leaf gas film ได้ นอกจากนี้ยังพบว่า เมื่อทำการเอาฟองอากาศที่เคลือบแผ่นใบออก มีผลให้สัดส่วนของการสังเคราะห์แสงลดลงถึง 20% อีกทั้ง การเจริญเติบโตยังลดลงอีกด้วย (Pedersen et al., 2009) ปัจจุบันเป็นที่ยอมรับว่าการเกิดลักษณะ leaf gas film ภายใต้สภาพน้ำท่วมนั้น เป็นปัจจัยหนึ่งที่สำคัญที่มีผลต่อประสิทธิภาพความทนทานต่อน้ำท่วม การมีลักษณะแบบ hydrophobic ในใบข้าวบางพันธุ์ ส่งผลให้มีอิฐอยู่ในน้ำจะมีชั้นฟองอากาศบางๆ กันระหว่างใบข้าว และน้ำ ดังแสดงใน Figure 1 การเกิดขึ้นของชั้นฟองอากาศเคลือบแผ่นใบนั้น ขึ้นอยู่กับปัจจัยต่างๆ ได้แก่ สายพันธุ์ และสภาพแวดล้อม

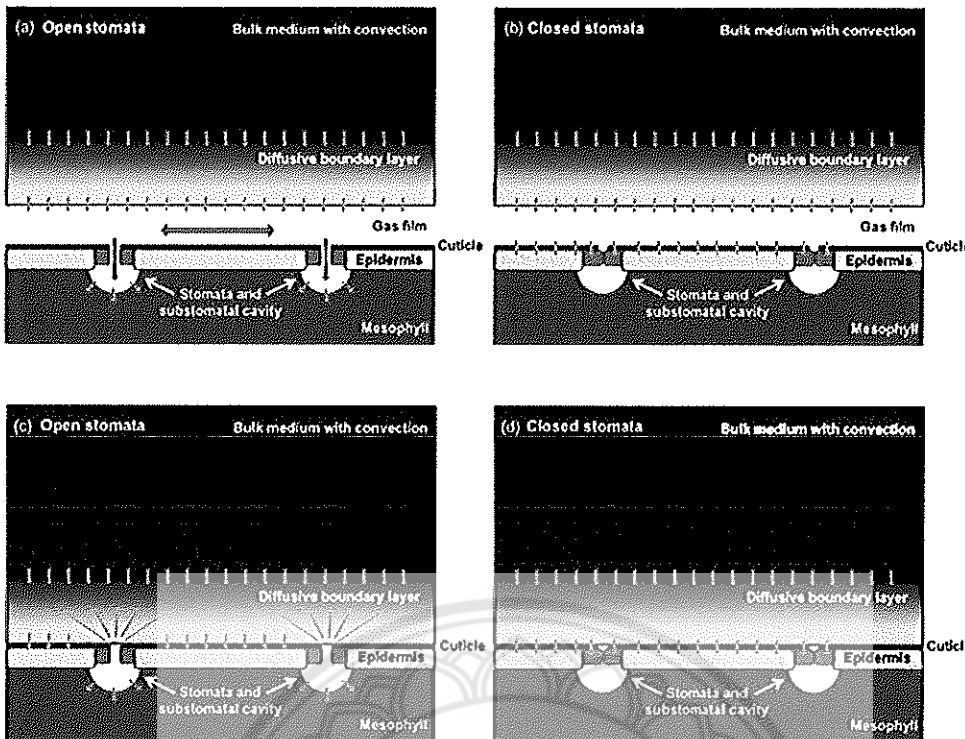


Figure 1 แสดงความแตกต่างของการเกิดขั้นฟองอากาศและไม่มีการสร้างขั้นฟองอากาศในใบพืชในสภาวะให้น้ำพืชที่สามารถสร้างขั้นฟองอากาศที่แผ่นใบได้ในขณะปกปักษ์เปิด (a) และในขณะบากใบปิด (b) และในพืชที่ไม่สามารถสร้างขั้นฟองอากาศเคลือบแผ่นใบในขณะปกปักษ์เปิด (c) และในขณะปกปักษ์ปิด (d) (Verboven et al., 2014)

โดยปกติแล้วเมื่อพืชบกจนอยู่ใต้น้ำ ปากใบพืชมักจะปิด มีผลให้การเจริญเติบโตอยุตชะงัก การที่พืชสามารถสร้างขั้นฟองอากาศเคลือบแผ่นใบสามารถช่วยให้พืชมีการเปิด-ปิดปากใบได้ปกติ ส่งผลให้กระบวนการทางชีวเคมีต่างๆ สามารถดำเนินการได้อย่างปกติ ดังนั้นการเจริญเติบโตของพืชจะไม่หยุดชะงัก และเมื่อน้ำลดพืชยังคงความสามารถในการให้ผลผลิตได้อย่างปกติ การแลกเปลี่ยนกําชีวภาพของพืช เช่นการหายใจและการขับถ่าย ก็จะดำเนินต่อไปอย่างต่อเนื่อง แต่เมื่อพืชต้องอยู่ในน้ำนานๆ ความสามารถในการหายใจและการขับถ่ายจะลดลง ทำให้พืชเสียความสามารถในการรักษาชั้นฟองอากาศใต้น้ำได้ยากขึ้น ซึ่งจะส่งผลกระทบต่อการเจริญเติบโตของพืชในระยะยาว แต่เมื่อพืชสามารถรักษาชั้นฟองอากาศใต้น้ำได้ ความสามารถในการหายใจและการขับถ่ายจะกลับมาทำงานได้อีกครั้ง ทำให้พืชสามารถดำเนินชีวิตต่อไปได้

มีรายงานว่าพืชต้องทนต่อความแห้งแล้งต่อหน้าท่วมฉับพลันได้มากที่สุด สามารถรักษาสารตับน้ำตាតาในเซลล์เนื้อเยื่อพืชได้ในปริมาณที่สูง เมื่อเปรียบเทียบกับพืชที่ไม่มีความทนทานต่อหน้าท่วมฉับพลัน ซึ่งกระบวนการตั้งกล่าวนี้เกี่ยวข้องกับการรักษาปริมาณสารโปไฮเดคตินต้นพืชไว้ในปริมาณที่สูง แต่ในขณะเดียวกันมีการใช้สารโปไฮเดคตเพื่อกิจกรรมต่างๆ ของพืชอย่างเช่นการหายใจ การใช้สารอาหารคาวีโน่ หรือการรับประทานอาหาร น้ำในสภาวะน้ำท่วม (Ram et al., 2002; Jackson and Ram, 2003) การใช้สารอาหารคาวีโน่เพื่อรักษาปริมาณสารโปรตีนในเซลล์ตับน้ำตាតาในสภาวะน้ำท่วม (Colmer and Pedersen, 2008; Winkel et al., 2013) น้ำในสภาวะน้ำท่วม เป็นผลลัพธ์ของการเจริญเติบโตของพืชที่ต้องเผชิญกับความแห้งแล้ง แต่เมื่อพืชสามารถรักษาชั้นฟองอากาศใต้น้ำได้ ความสามารถในการหายใจและการขับถ่ายจะกลับมาทำงานได้อีกครั้ง ทำให้พืชสามารถดำเนินชีวิตต่อไปได้

## บทที่ 3 วิธีการดำเนินงาน

### 3.1 สายพันธุ์ข้าวและการวางแผนการทดลอง

สายพันธุ์ข้าวไทยที่จะนำมาทำการทดลองมีดังนี้ พันธุ์ข้าวหอมหลิวทรี พันธุ์ข้าวพันธุ์ข้าวหอมหลิวทรี พันธุ์พิษณุโลก2 และพันธุ์ปทุมธานี1 ซึ่งคัดเลือกจากลักษณะคุณภาพข้าว ความสามารถในการทนน้ำท่วม และความนิยมของเกษตรกร โดยวางแผนการทดลองแบบ complete randomized design (CRD) จำนวน 5 ชั้้า

ทำการเพาะต้นกล้าข้าวในถุงหุ้มพลาสติกที่ได้เตรียมไว้ในโรงเรือนที่มีแสงแดดเพื่อให้ต้นกล้าแข็งแรง เมื่อต้นกล้าอายุได้ 20-25 วัน ทำการย้ายต้นกล้าลงไปปลูกในกระถางกันปีดขนาดเส้นผ่าศูนย์กลาง 10 นิ้ว จำนวน 2 ต้นต่อกระถาง ทำการปลูกพันธุ์ละ 15 กระถาง โดยกระถางที่ 1-5, 6-10, และ 11-15 จะใช้สำหรับประมาณค่าการสังเคราะห์แสงให้น้ำและระยะเวลาของการคงอยู่ของชั้นฟองอากาศที่อายุ 30 วัน 60 วัน และชุดความบคุณ ตามลำดับ ทำการให้น้ำแบบน้ำขังสมบูรณ์ตลอดระยะเวลาการทดลอง มีการวัดปริมาณธาตุอาหารในดินก่อนการปลูกและให้ธาตุอาหารเพิ่มตามความเหมาะสม จะทำการกำจัดโรคและแมลงศัตรูพืช ตามความเหมาะสม

### 3.2 การประเมินลักษณะความสามารถในการสร้างชั้นฟองอากาศ

เมื่อข้าวอายุได้ 30 และ 60 วัน ทำการตัดใบข้าวจากใบที่อ่อนที่สุดที่พัฒนาเต็มที่ โดยตัดจากส่วนกลางของใบข้าวไปหาส่วนปลายยอดให้มีขนาดความยาว 10 เซนติเมตร นำไปใส่ในหลอดทดลองที่มีน้ำกลิ้น วัดการเกิดชั้นฟองอากาศ ด้วยสายตา และใช้กล้องถ่ายรูปเพื่อบันทึกผล ให้คะแนนการเกิดชั้นฟองอากาศ โดย (+) = สามารถสร้างชั้นฟองอากาศได้ และ (-) = ไม่สามารถสร้างชั้นฟองอากาศได้

### 3.3 การประเมินปริมาณการสังเคราะห์แสงสุทธิแสงให้น้ำ

นำตัวอย่างใบข้าวขนาดความยาว 2.5 เซนติเมตร โดยตัดจากใบอ่อนที่สุดที่มีการพัฒนาเต็มที่ มาประเมินความสามารถในการสังเคราะห์แสงให้น้ำ โดยใช้ใบมีดโกนตัดครึ่งตามแนวยาว จะได้ใบข้าว 2 ส่วน (ส่วนแกนกลางไม่นำมาวิเคราะห์) โดยครึ่งใบแรกจะใช้เป็นตัวควบคุม ส่วนอีกครึ่งใบจะนำมาศึกษาโดยจัดชั้นฟองอากาศออก ทำการจัดชั้นฟองอากาศออกจากใบข้าวโดยใช้แบ่งขอน้ำขนาดเล็กๆ 0.05 % Triton X (Colmer and Pedersen, 2008) แบ่งที่ใบข้าว 2-3 ครั้ง จากนั้นล้างออกด้วยน้ำกลิ้น 5 วินาที วิธีการนี้จะเป็นการป้องกันไม่ให้ใบข้าวสร้างชั้นฟองอากาศได้เมื่ออยู่ใต้น้ำ การวัดการสังเคราะห์แสงสุทธิให้น้ำ จะใช้วิธีดัดแปลงจาก Sand-Jensen et al. (1992) โดยต้องทำการวัดภายใน 15 นาทีหลังจากการตัดใบข้าวออกจากต้น โดยนำไปข้าวที่เตรียมไว้ในขวดแก้ว ขนาด 25 ml ที่มีเมล็ดปีส (สำหรับกรณีที่เข้ากันเมื่ออยู่บนเครื่องเบี่ยง) โดยใส่ตัวอย่าง

ละ 1 ชุด นำขวดที่บรรจุตัวอย่างปิดฝาให้สนิท แล้วนำไปไว้ในอ่างปรับอุณหภูมิที่ 20 องศาเซลเซียส ที่ความเข้มแสง 600 PAR ความเข้มข้นของปริมาณออกซิเจนที่ละลายน้ำ ก่อนการทดลองจะถูกตั้งไว้ที่ 50% ของจุดอิ่มตัวของชั้นบรรยากาศ เพื่อป้องกันไม่ให้ปริมาณความเข้มข้นของออกซิเจนที่ละลายน้ำเกินจุดอิ่มตัวของชั้นบรรยากาศ ซึ่งจะส่งผลให้อัตราการสังเคราะห์แสงลดลงได้ หลังจากนั้นทำการเติมคาร์บอนไดออกไซด์ที่ละลายน้ำที่ความเข้มข้น 500 mmol m<sup>-3</sup> โดยเติม KHCO<sub>3</sub> ที่ความเข้มข้น 5.2 และ K<sub>2</sub>SO<sub>4</sub> ที่ความเข้มข้น 0.25 เพื่อเพิ่มความเข้มข้นของคาร์บอนไดออกไซด์ที่ละลายน้ำ ทำการวัดปริมาณออกซิเจนที่ละลายน้ำทุก ๆ 30 นาที เป็นเวลา 2 ชั่วโมง โดยใช้เครื่องวัดปริมาณออกซิเจนในน้ำแบบพกพา การวัดปริมาณการสังเคราะห์แสงได้นำมาทำการวัดเมื่อข้าวอายุได้ 30 วัน และ 60 วัน

### 3.4 ศึกษาระยะเวลาการคงอยู่ของชั้นฟองอากาศและความสามารถในการทนน้ำท่วมฉับพลัน

เมื่อข้าวอายุได้ 30 วัน และ 60 วัน นำกระถางต้นข้าวพันธุ์ละ 5 กระถาง (5 ช่อ) ไปใส่ในอ่างที่เติมน้ำประปา โดยระดับน้ำต้องอยู่เหนือต้นข้าว สังเกตการสร้างชั้นฟองอากาศด้วยสายตา ทุกวันเป็นระยะเวลา 2 สัปดาห์ บันทึกวันที่ชั้นฟองอากาศได้สลายตัวไป หลังจาก 2 สัปดาห์ นำกระถางข้าวขึ้นจากน้ำ และสังเกตการฟื้นตัวของข้าวแต่ละสายพันธุ์ รวมทั้งบันทึกจำนวนเปลือรเช็นต์การรอดชีวิต เปอร์เซ็นต์การยึดตัวของข้าว และความเขียวของใบ ซึ่งมีรายละเอียดดังนี้

3.4.1 เปอร์เซ็นต์การรอดชีวิต (Percentage of plant survival) การประเมินจะให้คะแนนเป็นเปอร์เซ็นต์การรอดชีวิตของจำนวนต้นข้าวที่อยู่รอดต่อจำนวนต้นทั้งหมด หลังจากการปล่อยน้ำออกประมาณ 7 วัน โดยการให้คะแนนอยู่ระหว่าง 0-100% โดย 0% หมายถึง ต้นข้าวตายหมดทุกต้น และ 100% หมายถึง ต้นข้าวรอดชีวิตทุกต้น (Siangliw et al., 2003)

3.4.2 เปอร์เซ็นต์การยึดตัวของข้าว (Percentage of plant elongation) การประเมินจะทำก่อนนำข้าวไปไว้ในอ่างน้ำ และหันที่ที่ปล่อยน้ำออก โดยวัดความสูงตั้งแต่ระดับพื้นดินจนถึงระดับสูงสุดของต้นข้าวที่ทำการทดสอบเปรียบเทียบกับกลุ่มควบคุม แล้วนำมาคำนวณเป็นเปอร์เซ็นต์การยึดตัว (Tooijinda et al., 2003)

3.4.3 ความเขียวของใบ (Leaf senescence) การประเมินจะใช้เครื่องวัดปริมาณคลอโรฟิลล์ (hand-held SPAD-502 chlorophyll meter) โดยสูมวัดใบข้าวจำนวน 3 ใบ ในแต่ละตัว วัดตรงบริเวณโคนใบ กลางใบ และปลายใบ แล้วหาค่าเฉลี่ยของปริมาณคลอโรฟิลล์ในแต่ละสายพันธุ์ โดยทำการประเมินทันทีที่ปล่อยน้ำออก (Tooijinda et al., 2003)

3.4.4 วัดคลอโรฟิลล์ฟลูออเรสценส์ (Chlorophyll fluorescence) ด้วยเครื่อง PAR fluoro meter โดยทำการประเมินก่อนนำข้าวลงในอ่างและหลังจากปล่อยน้ำออก การทดลองในแต่ละระยะการเจริญเติบโต เพื่อประเมินความแข็งแรงของต้นข้าว และความสามารถในการสังเคราะห์แสงในสภาพปกติของก่อนและหลังการทดลอง

### 3.4.5 บันทึกผลผลิตและองค์ประกอบผลผลิต

บันทึกจำนวนหน่อต่อ กอ ความสูง จำนวนรากต่อ กอ จำนวนเมล็ดต่อ รวง น้ำหนัก 1,000 เมล็ด และ น้ำหนักผลผลิตรวม

### 3.5 วิเคราะห์ข้อมูลทางสถิติ

นำข้อมูลทั้งหมดที่ได้จากการประเมินมาวิเคราะห์ความแปรปรวนทางสถิติโดยใช้โปรแกรม R ตาม แผนการทดลอง และเปรียบเทียบความแตกต่างของค่าเฉลี่ยแบบ LSD ที่ระดับความเชื่อมั่น 95%



## บทที่ 4 ผลการวิจัยและวิจารย์ผล

### การเจริญเติบโตและอัตราการยืดตัว

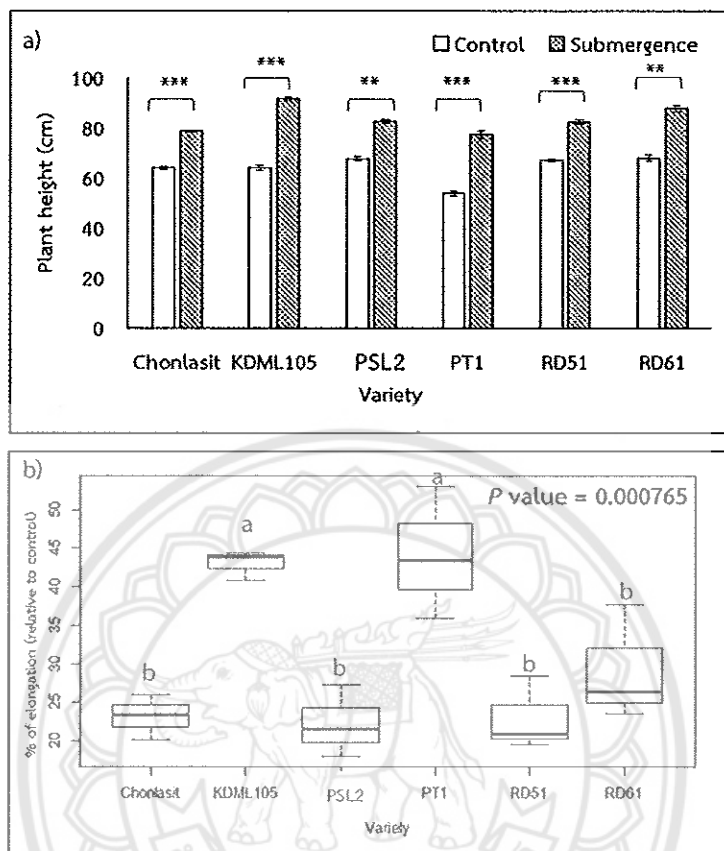
จากการทดลองพบว่า เมื่อนำต้นข้าวที่อยู่ในระยะแตกกอเต็มที่ ไปทดสอบในสภาพจำลองน้ำท่วม เป็นเวลา 10 วัน ความสูงของต้นข้าวทั้ง 6 พันธุ์เพิ่มสูงขึ้นอย่างมีนัยสำคัญทางสถิติ ( $P < 0.01$ ) เมื่อเปรียบเทียบกับต้นข้าวที่อยู่ในสภาพปกติ พันธุ์ข้าวที่มีการยืดตัวสูงมากที่สุดในสภาวะน้ำท่วมมากที่สุดคือ KDM105 ความสูงอยู่ที่ 91.65 cm พันธุ์ข้าวที่มีความสูงต้นน้อยที่สุดเมื่อยู่ในสภาวะน้ำท่วมคือ PT1 มีความสูงเฉลี่ย 77.38 cm (Figure 1a) เมื่อเปรียบเทียบลักษณะเปอร์เซ็นต์การยืดตัวของลำต้น (%) elongation) พบว่าพันธุ์ที่มีค่าน้อยที่สุดคือ Chonlasit และ PSL2 ซึ่งมีเปอร์เซ็นต์การยืดตัวของลำต้นเท่ากับ 23.12 % และ 22.18 % ตามลำดับ พันธุ์ KDM105 และ PT1 มีเปอร์เซ็นต์การยืดตัวสูงที่สุดคือ 43.01 % และ 43.92% ตามลำดับ (Figure 1b) เปอร์เซ็นต์การยืดตัวสามารถใช้เป็นข้อบ่งชี้ของการปรับตัวของข้าวเพื่อให้อยู่รอดภายใต้สภาวะน้ำท่วม เนื่องจากต้นข้าวได้ใช้การโภคireตที่สัมภูมิ เพื่อสร้างพลังงานสำหรับการยืดตัวทางลำต้น เพื่อให้ต้นข้าวได้มีกระบวนการการสังเคราะห์ด้วยแสงได้ดีขึ้น (Pedersen et al., 2009) เปอร์เซ็นต์การยืดตัวถักกล่าวจะมีผลทำให้ต้นข้าวมีความทนทานต่อสภาวะน้ำท่วมได้น้อยลงตามไปด้วย เนื่องจากต้นข้าวได้ใช้พลังงานที่สัมภูมิสำหรับการยืดตัว มีผลทำให้มีน้ำลด ต้นข้าวพันธุ์ดังกล่าวมีอัตราการฟื้นตัวที่ดี ซึ่งตรงกันข้ามกับพันธุ์ข้าวที่ไม่มีการยืดตัวหรือมีเปอร์เซ็นต์การยืดตัวน้อย ซึ่งเป็นข้อบ่งชี้ของลักษณะการทนทานต่อน้ำท่วมแบบฉบับพันธุ์ โดยพิจฉาะมีการสะสมพลังงานไว้ใช้มีน้ำลด และนำพลังงานดังกล่าวไปใช้สำหรับการฟื้นตัว (Ram et al., 2002; Jackson and Ram, 2003)

### ผลกระทบสภาวะน้ำท่วมต่อการเปลี่ยนแปลงของคลอโรฟิลล์และประสิทธิภาพการใช้แสง (Fv/Fm)

จากการวิเคราะห์หาปริมาณคลอโรฟิลล์ของใบข้าวในชุดควบคุม และชุดจำลองสภาพน้ำท่วม ในข้าวทั้ง 6 พันธุ์ (Table 2) โดยใช้เครื่อง Chlorophyll meter ซึ่งให้หน่วยการวัดเป็น SPAD Unit นั้นพบว่า ค่าความเขียวใบข้าวในชุดควบคุม ในข้าวทั้ง 6 พันธุ์มีค่าระหว่าง 34.16 – 38.30 SPAD Unit มีค่ามากกว่าในชุดจำลองสภาวะน้ำท่วม เป็นเวลา แต่ไม่แตกต่างทางสถิติ ยกเว้น KDM105 โดยมีค่าระหว่าง 32.51 – 37.03 SPAD Unit แสดงว่าเมื่อต้นข้าวอยู่ในสภาวะน้ำท่วมนั้น ปริมาณแสงที่ส่องผ่านมาถึงใบข้าวลดลง ทำให้ความสามารถในการสังเคราะห์ด้วยแสงของข้าวลดลง ส่งผลให้ค่าความเขียวใบข้าวลดลงตามไปด้วย และจากการทดลองแสดงให้เห็นว่า มีความแปรปรวนในลักษณะค่าความเขียวใบภายใต้สภาวะน้ำท่วมที่พบในแต่ละพันธุ์

ผลการศึกษาลักษณะประสิทธิภาพการใช้แสง (Fv/Fm) (Table 2) ซึ่งเป็นการวัดค่าคลอโรฟิลล์สูตรอเรสเซนต์ โดยการวัดการตอบสนองทางสีริวิทยาของพืชที่เกิดจากสภาวะเครียดเนื่องจากสภาวะแวดล้อม (environmental stress) ซึ่งแสดงถึงความสามารถของ photosystem II (PSII) (Baker, 2008; Maxwell and Johnson 2000) พบว่า ค่าเฉลี่ย Fv/Fm มีความแตกต่างกันอย่างมีนัยสำคัญทางสถิติ ( $P < 0.01$ ) ระหว่างทรีตเมนต์ และมีความแตกต่างระหว่างปฏิสัมพันธุ์ของพันธุ์ข้าวและทรีตเมนต์ ( $P < 0.05$ ) แต่ไม่พบความแตกต่างทางสถิติระหว่างพันธุ์ข้าวทั้ง 6 พันธุ์ ต้นข้าวที่ปลูกในสภาวะปกติมีค่าเฉลี่ย Fv/Fm ระหว่าง 0.70 – 0.73 ซึ่งบ่งบอกว่าต้นข้าวมีความอุดมสมบูรณ์ เมื่อต้นข้าวอยู่ในสภาวะน้ำท่วมเป็นเวลา 10 วัน พบร่วมค่า Fv/Fm ลดลงอย่างมีนัยสำคัญทางสถิติ มีค่าเฉลี่ยอยู่ระหว่าง 0.58 – 0.70 ทั้งนี้ พันธุ์ที่มีค่า Fv/Fm ลดลงมากที่สุดคือพันธุ์ PT1 รองลงมาคือ PSL2 และ RD61 ตามลำดับ ค่า Fv/Fm ที่ลดลงในแต่ละพันธุ์แสดงถึงสภาวะเครียดที่ต้นข้าวได้รับเนื่องจากอยู่ภายใต้น้ำท่วมเป็นเวลานาน อย่างไรก็ตามข้าวพันธุ์ chonlasit และ RD51 เป็นพันธุ์ข้าวที่มีความทนทานท่วม ซึ่งสอดคล้องกับค่า Fv/Fm ที่ลดลงซึ่งไม่มีความแตกต่างทางสถิติ แสดงให้เห็นว่าพันธุ์ดังกล่าวมีความทนทานต่อสภาวะน้ำท่วม ส่งผลให้ค่าประสิทธิภาพการสังเคราะห์แสงไม่มีความแตกต่างทางสถิติเมื่อเปรียบเทียบกับสภาวะควบคุม ส่วน

พันธุ์ KDM105 ที่แสดงค่า Fv/Fm ลดลงแต่ไม่แตกต่างอย่างมีนัยสำคัญทางสถิติ อาจเป็นเพราะมีการปรับตัวโดยการยืดทางลำต้นเพื่อให้มีประสิทธิภาพการสั่งเคราะห์แสงได้ใกล้เคียงกับสภาพปกติมากที่สุด



**Figure 2 The average of plant height (cm) of six varieties under control and submergence condition (a). The percentage of plant elongation from original (relative to control) of each varieties (b). Data present mean SE, n=5. \*\*, \*\*\* indicates significant differences at  $p \leq 0.05$ , and  $p \leq 0.01$ , respectively**

Table 1 The statistical results of SPAD value and Fv/Fm of six rice varieties grown under control and submergence condition. P-value are given for “variety”, “condition”, and “variety vs condition”; n.s. = not significant; \* = p-value ≤ 0.05; \*\* = p-value ≤ 0.01.

Variety	SPAD		F-test	Fv/Fm		F-test
	Control	Submergence		Control	Submergence	
Chonlasit	38.30±0.76	37.03±2.19	n.s.	0.72±0.02	0.68±0.04	n.s.
PSL2	36.96±2.26	36.03±0.69	n.s.	0.73±0.01	0.58±0.04	*
PT1	36.53±2.49	33.72±2.36	n.s.	0.73±0.04	0.56±0.08	*
RD51	37.63±1.92	34.54±0.35	n.s.	0.70±0.02	0.64±0.07	n.s.
RD61	34.16±1.12	32.51±1.75	n.s.	0.71±0.06	0.62±0.02	*
KDML105	38.17±1.50	33.92±2.6	*	0.70±0.05	0.70±0.01	n.s.

F-test				
Variety	*			n.s.
Condition		**		**
Variety x Condition	n.s.		*	
CV%	4.82		4.86	

### ความทนทานน้ำท่วมฉับพลัน

การประเมินความทนทานน้ำท่วมน้ำท่วมฉับพลันในระยะแรกอีกครึ่งปีที่พบว่า ข้าวพันธุ์ 6 พันธุ์มีเบอร์เซ็นต์หน่อตายแตกต่างกัน โดยมีต้นหน่อตายเมื่ออุ่นภัยให้สภาวะน้ำท่วมเป็นเวลา 10 วัน อุ่นระหว่าง 6.38% – 32.0% (แสดงดัง Table 3) โดยพบว่าพันธุ์ที่มีเบอร์เซ็นต์ต้นหน่อตายน้อยที่สุด ซึ่งจัดอยู่ในระดับความทนทานมากที่สุด (HT) คือ พันธุ์ Chonlasit และ RD51 เช่นเดียวกับรายงานการวิจัยของ Siangliw et al (2003) และ Toojinda et al (2003) ที่ได้นำพันธุ์น้ำท่วมจากข้าวพันธุ์ FR13A, IR49830 และ IR57514 มาผสมกับข้าวขาวดอกมะลิ 105 ได้เป็นข้าวหอมชลสิทธิ์ (Chonlasit) และ RD51 ซึ่งมีความสามารถในการทนน้ำท่วมฉับพลัน ส่วนพันธุ์ที่จัดอยู่ในระดับทนทาน (T) ได้แก่ พันธุ์ PSL2 PT1 และ RD61 ซึ่งมีเบอร์เซ็นต์หน่อตายระหว่าง 14.03% – 20.95% ส่วนพันธุ์ KDML105 มีระดับความทนทานปานกลาง (MT) มีค่าเบอร์เซ็นต์หน่อตายเท่ากับ 32 %

**Table 2 Submergence tolerance and % death of tiller of six rice varieties after submerged for 10 days.**

Variety	% death of tiller	Scale	Tolerant level
Chontasit	6.38	2	HT
PSL2	14.03	2	T
PT1	20.95	3	T
RD51	3.36	1	HT
RD61	14.49	2	T
KDML105	32.0	4	MT



## บทที่ 5 สรุปและข้อเสนอแนะ

สภาวะน้ำท่วมแบบฉบับพลันส่งผลให้ต้นข้าวมีการยืดตัวทางลำต้นที่สูงขึ้น มีประสิทธิภาพการสั่งเคราะห์แสงลดลง และมีผลต่อค่าความเขียวใบลดลงเมื่อเทียบกับชุดควบคุม ในข้าวทั้ง 6 พันธุ์ ข้าวพันธุ์ Chonlasit และ RD51 มีระดับความทนทานน้ำท่วมฉบับพลันสูง ในขณะที่พันธุ์ PSL2 PT1 และ RD61 แสดงประสิทธิภาพความทนนาน้ำท่วมอยู่ในระดับหนาแน่น แต่ KDM105 อยู่ในระดับหนาแน่นปานกลาง ความทนทานน้ำท่วมฉบับพลัน เปอร์เซ็นต์การยืดตัว ประสิทธิภาพการสั่งเคราะห์แสง และค่าความเขียวใบในข้าวแต่ละพันธุ์นั้น มีความแตกต่างกัน ขึ้นอยู่กับลักษณะทางพันธุกรรมของแต่ละพันธุ์

ข้อเสนอแนะจากการวิจัยครั้งนี้ เพื่อให้ได้มาซึ่งข้อมูลที่มีประโยชน์มากขึ้น ควรมีการศึกษาในหลากหลายพันธุ์ให้มากกว่านี้ เพื่อที่จะสามารถประเมินความสามารถในการสร้างชั้นอาณาเขตเคลือบผิวใบ และประสิทธิภาพการสั่งเคราะห์แสงได้ดียิ่งขึ้น



## ภาคผนวก





## วารสารเกษตรนเรศวร

Naresuan Agriculture Journal (NAJ)

คณฑ์เกษตรศาสตร์ หรรษากรธรรมชาติ และสืบแผลก้อน  
มหาวิทยาลัยนเรศวร 99 หมู่ 9 ต.ท่าโหร อ.เมือง จ.พิษณุโลก  
65000 โทรศัพท์ 055 962701 โทรสาร 055 962709

ฉบับที่ 14 พฤษภาคม 2563

เรื่อง.....แจ้งผลตอนรับ/การพิจารณาการตีพิมพ์บทความ

เรียน...ดร.นาฏสุdw. รุ่งรัตน์

ตามที่ท่านได้ส่งมาให้ด้วยความเพื่อลงตัดพิมพ์ในวารสารเกษตรนเรศวร เรื่องของท่านคือ<sup>1</sup>  
“ผลของน้ำท่วมอับพลันต่ออัตราการหายใจทางสีริวิทยานะการของช้างไทย ในระยะแรกๆ” ข้าพเจ้าขอท่านได้  
ถูกพิจารณาจากผู้ทรงคุณวุฒิ และกองบรรณาธิการเรียบร้อยแล้ว กองบรรณาธิการมีความเห็นดีที่จะacceptให้ทราบว่า  
เรื่องของท่านมีความเหมาะสมที่จะตีพิมพ์ได้ โดยวารสารเกษตรนเรศวร จะตีพิมพ์ความของท่านใน ปีที่ 17 ฉบับ  
ที่ 1 เดือนมกราคม – มิถุนายน พ.ศ.2563

จึงเรียนมาเพื่อโปรดทราบ

(ผู้ช่วยศาสตราจารย์ ดร.พทธร อินเจริก)

บรรณาธิการวารสารเกษตรนเรศวร

Figure A 1 ใบตอบรับเพื่อตีพิมพ์บทความในวารสารเกษตรนเรศวร ปีที่ 17 ฉบับที่ 1 เดือนมกราคม – มิถุนายน 2563

1039438

1 ผลของน้ำท่วมฉับพลันต่อลักษณะทางสรีริวิทยาบางประการของข้าวไทยในระยะแตกกอ  
2 Effects of Flash Flood on Growth and Some Physiological Changes in Thai  
3 Rice at Tillering Stage

4  
5 วรรัตน์ ชมชาติ<sup>1</sup> เทพสุดา รุ่งรัตน์<sup>1\*</sup>  
6 Worarat Chomchat<sup>1</sup>, Tepsuda Rungrat<sup>1\*</sup>

7  
8 <sup>1</sup>ภาควิชาวิทยาศาสตร์การเกษตร คณะเกษตรศาสตร์ มหาวิทยาลัยนราธิวาส จังหวัดนราธิวาส 65000

9  
10 <sup>1</sup>Department of Agricultural science, Faculty of Agriculture Natural Resources and Environment, Naresuan University, 65000,  
Thailand

11 \*Corresponding author: tepsudar@nu.ac.th

12 บทคัดย่อ

13 วัตถุประสงค์ของการศึกษาครั้งนี้ เพื่อศึกษาผลกระทบของน้ำท่วมฉับพลันต่อการเจริญเติบโต  
14 และลักษณะทางสรีริวิทยาบางประการของข้าวในระยะแตกกอเพิ่มที่ โดยทำการวางแผนการทดลองแบบ 2  
15 x 6 factorial in Completely Randomize Design (CRD) โดยมีปัจจัยแรกคือรูปแบบการปลูก มีสอง  
16 ระดับคือ สภาวะปกติ และ สภาวะน้ำท่วม ปัจจัยที่สองคือพันธุ์ข้าว มี 6 พันธุ์ ได้แก่ ข้าวหอมหลิวท์  
17 (Chonlasit), พิษณุโลก 2 (PSL2) ปทุมธานี 1 (PT1), กข51 (RD51), กข61 (RD6) และ ข้าวขาวดอมมะลิ  
18 105 (KDM105) ผลการทดลองพบว่า สภาวะน้ำท่วมมีผลต่อเพิ่มความสูงและเปอร์เซ็นต์การยึดตัวในข้าว  
19 ทุกพันธุ์ แต่ลดค่าความเขียวใบในข้าวทุกพันธุ์ และลดค่าสัมประสิทธิ์การสังเคราะห์แสง (Fv/Fm) ของข้าว  
20 พันธุ์ Chonlasit RD51 และ KDM105 อย่างมีนัยสำคัญทางสถิติ เมื่อยูไนต์ภาวะน้ำท่วมฉับพลันเป็น  
21 เวลา 10 วัน จากผลการทดลองระดับความทนทานน้ำท่วมในระยะแตกกอเพิ่มที่ พบร้า ข้าวพันธุ์  
22 Chonlasit และ RD51 มีระดับความทนทานน้ำท่วมฉับพลันสูง ในขณะที่พันธุ์ PSL2 PT1 และ RD61 แสดง  
23 ประสิทธิภาพความทนทานน้ำท่วมอยู่ในระดับทนทาน และ KDM105 อยู่ในระดับทนทานปานกลาง ผล  
24 การศึกษาครั้งนี้แสดงให้เห็นว่าการใช้เทคนิคคลอร์ฟลูออเรสเซนซ์ (chlorophyll fluorescence)  
25 เพื่อประเมินค่าประสิทธิภาพการสังเคราะห์แสงในสภาวะน้ำท่วม สามารถนำมาประยุกต์ใช้ในการ  
26 ประเมินพันธุ์ข้าวทนน้ำท่วมฉับพลันได้

27  
28 คำสำคัญ: ข้าว, ประสิทธิภาพการสังเคราะห์แสง, ทนน้ำท่วมฉับพลัน

30 31 ABSTRACT

32 The objective of this study is to investigate the impact of flash flooding to the  
33 growth and some physiological parameters at tillering stage. The experimental design was  
34 conducted in 2 x 6 factorial in Completely Randomize Design (CRD). The first factor was  
35 growth conditions which was consist of control and submergence. The second factor was  
36 rice varieties including Chonlasit, Phitsanulok 2 (PSL2), Pathum Thani 1 (PT1), RD51, RD61  
37 and KDM105. The results showed that flash flood condition had affected on growth and

development to all rice varieties by increasing plant height and elongation, whereas decreased in leaf greenness (SPAD unit) in all varieties, and decrease in maximum quantum efficiency of PSII photochemistry ( $F_v/F_m$ ) in Chonlasit, RD15 and KDM105 significantly after submerged for 10 days. Chonlasit and RD51 are grouped as high tolerance varieties, while PSL2, PT1 and RD61 were categories as tolerate variety. The KDM105 was moderate tolerance variety. The results presented here suggested that chlorophyll fluorescence measurement can be used as a technique to evaluate flash flood tolerance in Thai rice variety.

46

47 **Keywords:** rice, quantum efficiency of PSII, flash flood tolerance

48

#### บทนำ

50 ข้าว (*Oryza sativa L.*) จัดเป็นพืชอาหารหลักของประเทศไทย ทั้งการผลิตเพื่อบริโภค  
51 ภายในประเทศ และส่งออกยังต่างประเทศ อีกที่ยังเป็นพืชอาหารที่มีความสำคัญอันดับต้นๆ ของโลก การ  
52 ปลูกข้าวในประเทศไทยมีการกระจายตัวอยู่ทั่วทุกพื้นที่ ทั้งในเขตพื้นที่ชลประทาน และในเขตพื้นที่อา墟  
53 แหล่งน้ำตามธรรมชาติ ซึ่ง 70% ของพื้นที่ปลูกทั้งหมด เป็นพื้นที่ราบต่ำ แม้ประเทศไทยจะเป็นประเทศหนึ่งที่  
54 มีการส่งออกข้าวเป็นอันดับต้นๆ ของโลก แต่ปริมาณผลผลิตข้าวต่อไร่ ยังอยู่ในเกณฑ์ต่ำ ในปีการเพาะปลูก  
55 2561/2562 ผลผลิตเฉลี่ยต่อไร่อยู่ที่ 475 กก/โลกร่มต่อไร่ (สำนักงานเศรษฐกิจการเกษตร, 2563) ทั้งนี้อาจ  
56 เป็นเพราะเกษตรกรประสบภัยปัญหาน้ำท่วมตามธรรมชาติ เนื่องมาจากสภาพอากาศน้ำท่วมสูง ซึ่งส่งผลให้ผลผลิตข้าวลด  
57 ปริมาณลงอย่างมีนัยสำคัญ การเปลี่ยนแปลงของสภาพอากาศน้ำท่วมสูงส่งผลให้การกระจายตัวของปริมาณ  
58 น้ำฝนไม่สม่ำเสมอ ทำให้เกิดน้ำท่วมน้ำตกหนัก (flash-flood) ในบางพื้นที่ และมีการระบาดของโรคและ  
59 แมลงเพิ่มมากขึ้น (Toojinda et al., 2005; Wassamann et al., 2009)

60 ปัจจัยในการเกิดปัญหาน้ำท่วมน้ำตกหนักในประเทศไทยจัดเป็นหนึ่งในปัญหาสำคัญของพื้นที่ปลูก  
61 ข้าวในเขตพื้นที่ราบลุ่ม ซึ่งส่งผลกระทบต่อการท่าน้ำของเกษตรกรอย่างมาก โดยเฉพาะอย่างยิ่งในปีที่มี  
62 ปริมาณน้ำฝนมากเกินความต้องการ ส่งผลให้เกิดน้ำท่วมน้ำตกหนัก และสามารถสร้างความเสียหายต่อ  
63 ข้าวได้ในทุกระยะการเจริญเติบโต ตั้งแต่ต้นกล้าจนถึงระยะการให้ผลผลิต โดยสามารถส่งผลให้ผลผลิตข้าว  
64 ลดลงสูงถึง 50% (Devender and Mittra, 1985; Mongon et al., 2017) สำหรับประเทศไทย พบว่ามี  
65 พื้นที่ปลูกข้าวประมาณ 70% ที่มีโอกาสประสบปัญหาน้ำท่วม เนื่องจากเป็นพื้นที่ราบต่ำ และไม่มีระบบการ  
66 ระบายน้ำที่ดีพอ ประกอบกับมีปริมาณฝนตกทึ่หนักมากในบางปี ส่งผลให้เกิดน้ำท่วมน้ำตกหนัก ซึ่ง  
67 สร้างความเสียหายต่อผลผลิตข้าวเป็นอย่างมาก

68 เมื่อพืชต้องอยู่ภายใต้สภาวะน้ำท่วม พืชบางชนิดสามารถสร้างชั้นฟองอากาศ (leaf gas film)  
69 หรือ ชั้นฟองอากาศเคลือบแผ่นใบได้ การมีชั้นฟองอากาศเคลือบแผ่นใบเมื่อพืชอยู่ใต้น้ำนั้นสามารถช่วยให้  
70 พืชเกิดการแลกเปลี่ยนกําช ออกซิเจน และคาร์บอนไดออกไซด์ เพื่อนำไปใช้ในกระบวนการสังเคราะห์แสง  
71 และกระบวนการหายใจของพืช การศึกษาการเกิดชั้นฟองอากาศในข้าวแสดงให้เห็นถึงกระบวนการหายใจ  
72 ในพืชโดยใช้ ออกซิเจน ที่มีอยู่ในฟองอากาศเคลือบที่แผ่นใบในสภาวะน้ำท่วม และกระบวนการ  
73 สังเคราะห์ด้วยแสงในเวลากลางวัน โดยใช้กําชการบอนไดออกไซด์ที่มีอยู่ในฟองอากาศ ได้อย่างปกติ เมื่อ

74 เปรียบเทียบกับพันธุ์ข้าวที่ไม่สามารถสร้างชั้นฟองอากาศได้ นอกจากนี้ยังพบว่า เมื่อทำการเอาฟองอากาศ  
75 ที่เคลือบแผ่นใบออก มีผลให้สัดส่วนของการสังเคราะห์แสงลดลงถึง 20% อีกทั้งการเจริญเติบโตยังลดลง  
76 อีกด้วย (Pedersen et al., 2009) ปัจจุบันเป็นที่ยอมรับว่าการเกิดลักษณะชั้นฟองอากาศภายใต้สภาวะน้ำ  
77 ท่วมน้ำ เป็นปัจจัยหนึ่งที่สำคัญที่มีผลต่อประสิทธิภาพความทนทานต่อน้ำท่วม การมีลักษณะแบบ  
78 hydrophobic ในใบข้าวบางพันธุ์ ส่งผลให้มีอัตราหายใจน้ำจะมีชั้นฟองอากาศบางๆ กันระหว่างใบข้าว  
79 และน้ำ การเกิดขึ้นของชั้นฟองอากาศเคลือบแผ่นใบน้ำ ชั้นอยู่กับปัจจัยต่างๆ ได้แก่ สายพันธุ์ และ  
80 สภาพแวดล้อม

81 การศึกษาปฏิกิริยาคลอร์ฟลูออเรสเซนซ์ (chlorophyll fluorescence) เป็นการวัดการ  
82 เปลี่ยนแปลงปฏิกิริยาแสงของพืช (light reaction) ในระบบแสง 2 (photosystem II, PSII) และสามารถ  
83 ใช้อธิบายการส่งผ่านอิเล็กตรอนของกระบวนการสังเคราะห์ด้วยแสง (Misra et al., 2012; นงลักษณ์  
84 พယักชศิรินาวนิ แล้วคณะ, 2014) ในพืชสีเขียวนั้นสามารถบ่งบอกถึงประสิทธิภาพสังเคราะห์ด้วยแสง และ  
85 การทำงานของ PS II ความสมบูรณ์ของพืชน้ำๆ และสภาวะเครียดจากปัจจัยต่างๆ ในพืชได้ (Krause and  
86 Weis, 1991; Pedrós et al., 2008; Baker, 2008; Rungrat et al., 2016) การใช้เทคนิคการวิเคราะห์ค่า  
87 chlorophyll fluorescence เพื่อการประเมินศักยภาพของต้นพืช โดยเฉพาะอย่างยิ่ง ภายใต้สภาวะ  
88 เครียดแบบต่างๆ นอกจากนี้การวัดค่า chlorophyll fluorescence สามารถทำได้โดยไม่ทำลายตัวอย่างใน  
89 ระหว่างการเก็บข้อมูล

90 ดังนั้นการศึกษาระดับนี้ มีวัตถุประสงค์เพื่อศึกษาเปรียบเทียบความสามารถในการสร้างชั้น  
91 ฟองอากาศเคลือบแผ่นใบข้าว ในข้าวไทยจำนวน 5 พันธุ์เบรียบเทียบกับพันธุ์ทุนน้ำท่วม โดยจำลองสภาวะ  
92 น้ำท่วมในระยะแทรกกอเต็มที่เป็นเวลา 10 วัน รวมถึงการประเมินประสิทธิภาพการใช้แสงของข้าว (Fv/Fm)  
93 และค่าความเขียวใบภายหลังจากน้ำลด เพื่อเป็นประโยชน์ต่อการศึกษาลักษณะการทำงานน้ำท่วม เพื่อ  
94 นำไปใช้การปรับปรุงพันธุ์ข้าวทนน้ำท่วมต่อไป

## วิธีการดำเนินงาน

### การเตรียมตัวอย่างพืช

99 นำเมล็ดข้าวทั้ง 6 พันธุ์ ได้แก่ ขาวดอกมะลิ 105 หอมชลสิทธิ์ พิษณุโลก 2 ป่าหมูราษี 1 กษ 51 และ  
100 กษ 61 โดยใช้พันธุ์ Chonlasit เป็นพันธุ์เบรียบเทียบทันน้ำท่วม และพันธุ์ KDM105 เป็นพันธุ์อ่อนแอ  
101 เบรียบเทียบ แข็งน้ำทึบไว้ 1 คืน แล้วนำมาเพาะในถาดหลุ่ม เมื่อข้าวมีอายุได้ 25 วัน ทำการย้ายปลูกลง  
102 กระถางพลาสติกกันปีด ขนาดเส้นผ่าศูนย์กลางภายนอกปากกระถาง 30 cm ขนาดเส้นผ่าศูนย์กลาง  
103 ภายนอกกันกระถาง 17.5 cm ความสูง 22 cm ที่บรรจุดินจากแปลงวิจัย คณฑ์เกษตรศาสตร์ฯ น.น.เรศวร  
104 ปริมาณ 5 kg/กระถาง ทำการปลูกจำนวน 1 ต้น/กระถาง ใส่ธาตุอาหารเพิ่มติ่มเพื่อให้ดินมีความอุดม<sup>1</sup>  
105 สมบูรณ์ ใน อัตราส่วนดังนี้ 100 mg N, 50 mg P และ 50 mg K ต่อตัน 1 kg โดยใช้ปุ๋ยสูตร 46-0-0 ใน  
106 อัตรา 176 mg/ดิน 1 kg ปุ๋ยสูตร 18-46-0 ในอัตรา 108 mg/ดิน 1 kg และปุ๋ยสูตร 0-0-60 ในอัตรา 83  
107 mg/ดิน 1 kg แบ่ง成จำนวน 2 ครั้ง ครั้งละเท่ากัน โดยใส่เมื่อข้าวมีอายุได้ 30 วัน และ 60 วันหลังย้าย<sup>2</sup>  
108 ปลูก

109

110 การวัดประสิทธิภาพของการใช้แสง (Fv/Fm) การวัดค่าความเขียวใบพืช (SPAD)  
 111 การวัดค่าประสิทธิภาพการใช้แสงในใบข้าว (maximum quantum efficiency of PSII  
 112 photochemistry, Fv/Fm) และค่าความเขียวใบพืช (SPAD) โดยทำการวัดค่าที่ใบอ่อนที่แก่เต็มที่  
 113 (youngest fully expanded leaf) ที่ระยะกลางใบ ในชุดควบคุม และชุดทดสอบ (ต้นข้าวขึ้นจากน้ำ) มา  
 114 วัดค่าประสิทธิภาพการสังเคราะห์แสงด้วยเครื่อง ด้วยเครื่อง PAR fluorPen (PAR-FluorPen; FP  
 115 100-Max-LM-D/USB, PSI®, Gzece Republic) โดยก่อนทำการวัดค่า chlorophyll fluorescence ต้น  
 116 พืชจะถูกนำไปไว้ในที่มืด (dark-adapted) เป็นเวลา 30 นาที ทำการวัดค่าประสิทธิภาพการใช้แสง  
 117 (Fv/Fm) ในช่วงเวลา 13:00 – 15:00 น. จากนั้นวัดค่าความเขียวใบ (leaf greenness) ด้วยเครื่องมือวัด  
 118 ปริมาณคลอรอฟิลล์ (hand-held SPAD-502 chlorophyll meter, Konica minolta®, Japan การวัด  
 119 ค่าประสิทธิภาพการใช้แสงและค่าความเขียวใบพืชจำนวน 5 ชั้นในแต่ละต้น  
 120 การประเมินความทนทานต่อน้ำท่วมในระยะแทรกอเดิมที่  
 121 เมื่อต้นข้าวอยู่ในระยะแทรกอเดิมที่ ดำเนินการจำลองสภาพน้ำท่วม โดยวางแผนการทดลอง  
 122 แบบ Factorial in Completely Randomized Design (CRD) โดยมีปัจจัยแปรคือสภาพการปลูก มี 2  
 123 ระดับคือต้นข้าวในชุดควบคุมที่ปลูกในสภาพปกติ และต้นข้าวที่ปลูกในสภาพจำลองสภาพน้ำท่วม และ  
 124 ปัจจัยที่ 2 คือ พันธุ์ข้าว จำนวน 6 พันธุ์ ทำการทดลอง 5 ชั้น ทำการย้ายต้นข้าวชุดทดสอบลงในอ่าง  
 125 พลาสติกโดยรักษาเด็บบี้ให้ท่วมต้นข้าว 10 cm เป็นเวลา 10 วัน วัดความสูงของต้นข้าว เปอร์เซ็นต์  
 126 ยอดตัว ประเมินความทนทานโดยนับจำนวนหน่อทั้งหมดก่อนน้ำท่วม และหลังนำขึ้นจากน้ำทันที ดัง Table  
 127 1  
 128

129 Table 1 Standard evaluation system of rice for submergence tolerance

Scale	Submergence tolerance	130
% death of tiller	Tolerance level	
1 death of tiller < 10 %	high tolerance (HT)	
2-3 death of tiller 10-30 %	tolerance (T)	
4-5 death of tiller 30 -50 %	moderate tolerance (MT)	
6 death of tiller 50 – 60 %	moderate susceptible (MS)	
7-8 death of tiller 60 – 80 %	susceptible (S)	
9 death of tiller > 80 %	high susceptible (HS)	

Adapted from STANDARD Evaluation System of Rice, SES (IRRI, 2002)

131  
 132 การวิเคราะห์ข้อมูลทางสถิติ  
 133 นำข้อมูลที่ได้มาวิเคราะห์ความแปรปรวนทางสถิติโดยเปรียบเทียบความแตกต่างระหว่างค่าเฉลี่ย  
 134 ด้วยวิธี Duncan's Multiple Range Test (DMRT) ที่ระดับนัยสำคัญ 0.05 โดยใช้โปรแกรม R และ R  
 135 Studio (RStudio Team, 2019)



๑๘ ก.ค. ๒๕๖๔

136

## ผลการทดลองและอภิปรายผล

137 การเจริญเติบโตและอัตราการยืดตัว

139

140 จากผลการทดลองพบว่า เมื่อนำต้นข้าวที่อยู่ในระยะแทรกกอเต็มที่ไปทดสอบในสภาพจำลองน้ำ  
141 ห่วงเป็นเวลา 10 วัน ความสูงของต้นข้าวทั้ง 6 พันธุ์เพิ่มสูงขึ้นอย่างมีนัยสำคัญทางสถิติ ( $P \leq 0.01$ ) เมื่อ  
142 เปรียบเทียบกับต้นข้าวที่อยู่ในสภาพปกติ พันธุ์ข้าวที่มีการยืดตัวสูงมากที่สุดในสภาวะน้ำห่วงมากที่สุดคือ  
143 KDM105 ความสูงอยู่ที่ 91.65 cm พันธุ์ข้าวที่มีความสูงต้นน้อยที่สุดเมื่ออยู่ในสภาวะน้ำห่วงคือ PT1 มี  
144 ความสูงเฉลี่ย 77.38 cm (Figure 1a) เมื่อเปรียบเทียบลักษณะเปอร์เซ็นต์การยืดตัวของลำต้น (%)  
145 elongation) พบว่าพันธุ์ที่มีค่าน้อยที่สุดคือ Chonlasit และ PSL2 ซึ่งมีเปอร์เซ็นต์การยืดตัวของลำต้น  
146 เพ่ากับ 23.12 % และ 22.18 % ตามลำดับ พันธุ์ KDM105 และ PT1 มีเปอร์เซ็นต์การยืดตัวสูงที่สุดคือ  
147 43.01 % และ 43.92% ตามลำดับ (Figure 1b) เปอร์เซ็นต์การยืดตัวสามารถใช้เป็นชี้วัดของการปรับตัว  
148 ของข้าวเพื่อให้อ่ายุ้งด้วยไส้สภาวะน้ำห่วง เนื่องจากต้นข้าวได้ใช้การใบไประดิษฐ์ที่สะสมไว้ เพื่อสร้าง  
149 พลังงานสำหรับการยืดตัวทางลำต้น เพื่อให้ต้นข้าวได้มีกระบวนการการสังเคราะห์ด้วยแสงได้ดีขึ้น  
150 (Pedersen et al., 2009) เปอร์เซ็นต์การยืดตัวดังกล่าวจะมีผลทำให้ต้นข้าวมีความทนทานต่อสภาวะน้ำ  
151 ห่วงได้น้อยลงตามไปด้วย เมื่อจากต้นข้าวได้ใช้พลังงานที่สะสมไว้สำหรับการยืดตัว มีผลทำให้มีน้ำลาด  
152 ต้นข้าวพันธุ์ดังกล่าวมีอัตราการฟื้นตัวที่ต่ำ ซึ่งตรงกันข้ามกับพันธุ์ข้าวที่ไม่มีการยืดตัวหรือมีเปอร์เซ็นต์การ  
153 ยืดตัวน้อย ซึ่งเป็นชี้วัดของลักษณะการทนทานต่อน้ำห่วงแบบบลัดพลัน โดยพิจฉามีการสะสมพลังงานไว้  
154 ให้มีน้ำลาด และนำพลังงานดังกล่าวไปใช้สำหรับการฟื้นตัว (Ram et al., 2002; Jackson and Ram,  
155 2003)

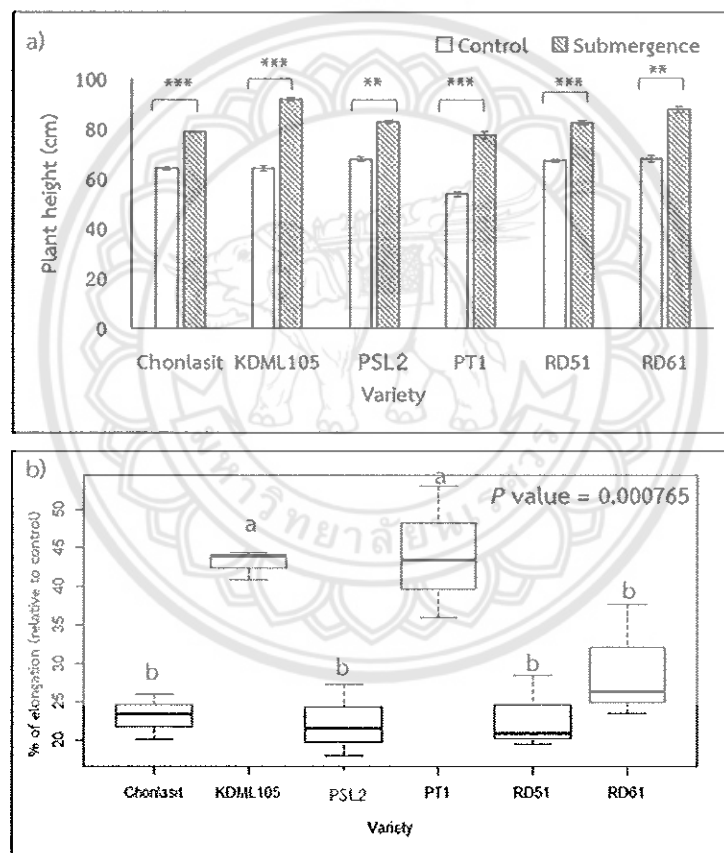
156

157 ผลของสภาวะน้ำห่วงต่อการเปลี่ยนแปลงของคลอโรฟิลล์และประสิทธิภาพการใช้แสง (Fv/Fm)

158 จากการวิเคราะห์หาปริมาณคลอโรฟิลล์ของใบข้าวในชุดควบคุม และชุดจำลองสภาพน้ำห่วง ใน  
159 ข้าวทั้ง 6 พันธุ์ (Table 2) โดยใช้เครื่อง Chlorophyll meter ซึ่งให้หน่วยการวัดเป็น SPAD Unit น้ำหน่วงว่า  
160 ค่าความเขียวใบข้าวในชุดควบคุม ในข้าวทั้ง 6 พันธุ์มีค่าระหว่าง 34.16 – 38.30 SPAD Unit มีค่านากกว่า  
161 ในชุดจำลองสภาวะน้ำห่วงเป็นเวลา แต่ไม่แตกต่างทางสถิติ ยกเว้น KDM105 โดยมีค่าระหว่าง 32.51 –  
162 37.03 SPAD Unit แสดงว่าเมื่อต้นข้าวอยู่ในสภาวะน้ำห่วงนั้น ปริมาณแสงที่ส่งผ่านมายังใบข้าวลดลง ทำ  
163 ให้ความสามารถในการสังเคราะห์ด้วยแสงของข้าวลดลง ส่งผลให้ค่าความเขียวใบข้าวลดลงตามไปด้วย  
164 และจากการทดลองแสดงให้เห็นว่า มีความแปรปรวนในลักษณะค่าความเขียวใบภายใต้สภาวะน้ำห่วงที่  
165 พぶในแต่ละพันธุ์

166 ผลการศึกษาลักษณะประสิทธิภาพการใช้แสง (Fv/Fm) (Table 2) ซึ่งเป็นการวัดค่าคลอโรฟิลล์  
167 พลูอโเรสเซนต์ โดยการวัดการตอบสนองทางสรีริวิทยาของพืชที่เกิดจากสภาวะเครียดเนื่องจากสภาวะ  
168 แวดล้อม (environmental stress) ซึ่งแสดงถึงความสามารถของ photosystem II (PSII) (Baker, 2008;  
169 Maxwell and Johnson 2000) พบว่า ค่าเฉลี่ย Fv/Fm มีความแตกต่างกันอย่างมีนัยสำคัญทางสถิติ ( $p < 0.01$ ) ระหว่างทรีตเมนต์ และมีความแตกต่างระหว่างปฏิสัมพันธ์ของพันธุ์ข้าวและทรีตเมนต์ ( $p < 0.05$ )  
170 แต่ไม่พบความแตกต่างทางสถิติระหว่างพันธุ์ข้าวทั้ง 6 พันธุ์ ต้นข้าวที่ปลูกในสภาวะปกติมีค่าเฉลี่ย Fv/Fm

172 ระหว่าง 0.70 – 0.73 ซึ่งบ่งบอกว่าต้นข้าวมีความอุดมสมบูรณ์ เมื่อต้นข้าวยืนในสภาวะน้ำท่วมเป็นเวลา 10  
 173 วัน พบรากค่า Fv/Fm ลดลงอย่างมีนัยสำคัญทางสถิติ มีค่าเฉลี่ยอยู่ระหว่าง 0.58 – 0.70 ทั้งนี้ พันธุ์ที่มีค่า  
 174 Fv/Fm ลดลงมากที่สุดคือพันธุ์ PT1 รองลงมาคือ PSL2 และ RD61 ตามลำดับ ค่า Fv/Fm ที่ลดลงในแต่  
 175 ละพันธุ์แสดงถึงสภาวะเครียดที่ต้นข้าวได้รับเนื่องจากอยู่ภายใต้น้ำท่วมเป็นเวลานาน อย่างไรก็ตามข้าว  
 176 พันธุ์ chonlasit และ RD51 เป็นพันธุ์ข้าวที่มีความทนน้ำท่วม ซึ่งสอดคล้องกับค่า Fv/Fm ที่ลดลงซึ่งไม่มี  
 177 ความแตกต่างทางสถิติ แสดงให้เห็นว่าพันธุ์ดังกล่าวมีความทนทานต่อสภาวะน้ำท่วม ส่งผลให้ค่า  
 178 ประสิทธิภาพการสังเคราะห์แสงไม่มีความแตกต่างทางสถิติเมื่อเปรียบเทียบกับสภาวะควบคุม ส่วนพันธุ์  
 179 KDM105 ที่แสดงค่า Fv/Fm ลดลงแต่ไม่แตกต่างอย่างมีนัยสำคัญทางสถิติ อาจเป็นเพราะมีการปรับตัว  
 180 โดยการยืดทางลำต้นเพื่อให้มีประสิทธิภาพการสังเคราะห์แสงได้ใกล้เคียงกับสภาพปกติมากที่สุด  
 181



182

**Figure 1** The average of plant height (cm) of six varieties under control and submergence condition (a). The percentage of plant elongation from original (relative to control) of each varieties (b). Data present mean SE, n=5. \*\*, \*\*\* indicates significant differences at  $p \leq 0.05$ , and  $p \leq 0.01$ , respectively

183

184      Table 2 The statistical results of SPAD value and Fv/Fm of six rice varieties grown under  
 185      control and submergence condition. P-value are given for “variety”, “condition”, and  
 186      “variety x condition”; n.s. = not significant; \* = p-value  $\leq 0.05$ ; \*\* = p-value  $\leq 0.01$ .

Variety	SPAD		F-test	Fv/Fm		F-test
	Control	Submergence		Control	Submergence	
Chonlasit	38.30 $\pm$ 0.76	37.03 $\pm$ 2.19	n.s.	0.72 $\pm$ 0.02	0.68 $\pm$ 0.04	n.s.
PSL2	36.96 $\pm$ 2.26	36.03 $\pm$ 0.69	n.s.	0.73 $\pm$ 0.01	0.58 $\pm$ 0.04	*
PT1	36.53 $\pm$ 2.49	33.72 $\pm$ 2.36	n.s.	0.73 $\pm$ 0.04	0.56 $\pm$ 0.08	*
RD51	37.63 $\pm$ 1.92	34.54 $\pm$ 0.35	n.s.	0.70 $\pm$ 0.02	0.64 $\pm$ 0.07	n.s.
RD61	34.16 $\pm$ 1.12	32.51 $\pm$ 1.75	n.s.	0.71 $\pm$ 0.06	0.62 $\pm$ 0.02	*
KDML105	38.17 $\pm$ 1.50	33.92 $\pm$ 2.6	*	0.70 $\pm$ 0.05	0.70 $\pm$ 0.01	n.s.

F-test	Variety	Condition	Variety x Condition	CV%
	*			4.82
		**		
			n.s.	
				4.86

187  
 188      ความทนทานน้ำท่วมฉับพลัน  
 189      การประเมินความทนทานน้ำท่วมน้ำท่วมฉับพลันในระยะแทรกอเดิมที่เพบว่า ข้าวหั้ง 6 พันธุ์มีเปอร์เซ็นต์  
 190      หน่อตายแตกต่างกัน โดยมีต้นหน่อตายเมื่อยุ่ภายได้สภาวะน้ำท่วมเป็นเวลา 10 วัน อยู่ระหว่าง 6.38% –  
 191      32.0% (แสดงดัง Table 3) โดยพบร้าพันธุ์ที่มีเปอร์เซ็นต์ต้นหน่อตายน้อยที่สุด ซึ่งจัดอยู่ในระดับความ  
 192      ทนทานมากที่สุด (HT) คือ พันธุ์ Chonlasit และ RD51 เช่นเดียวกับรายงานการวิจัยของ Siangliw et al  
 193      (2003) และ Toojinda et al (2003) ที่ได้นำเข็นทนทานน้ำท่วมจากพันธุ์ FR13A, IR49830 และ IR57514  
 194      มาทดสอบกับข้าวขาวดอกมะลิ 105 ได้เป็นข้าวหอมคลีที้ (Chonlasit) และ RD51 ซึ่งมีความสามารถในการ  
 195      ทนทานน้ำท่วมน้ำท่วมฉับพลัน ส่วนพันธุ์ที่จัดอยู่ในระดับทนทาน (T) ได้แก่พันธุ์ PSL2 PT1 และ RD61 ซึ่งมีเปอร์เซ็นต์  
 196      หน่อตายระหว่าง 14.03% – 20.95% ส่วนพันธุ์ KDML105 มีระดับความทนทานปานกลาง (MT) มีค่า  
 197      เปอร์เซ็นต์หน่อตายเท่ากับ 32 %  
 198

199 Table 3 Submergence tolerance and % death of tiller of six rice varieties after  
 200 submerged for 10 days.

Variety	% death of tiller	Scale	Tolerant level
Chonlasit	6.38	2	HT
PSL2	14.03	2	T
PT1	20.95	3	T
RD51	3.36	1	HT
RD61	14.49	2	T
KDML105	32.0	4	MT

201

202

203

### สรุป

204 สภาพน้ำท่วมแบบฉับพลันส่งผลให้ต้นข้าวมีการยึดตัวทางลำต้นที่สูงขึ้น มีประสิทธิภาพการ  
 205 สังเคราะห์แสงลดลง และมีผลต่อค่าความเขียวใบลดลงเมื่อเทียบกับชุดควบคุม ในข้าวทั้ง 6 พันธุ์ ข้าวพันธุ์  
 206 Chonlasit และ RD51 มีระดับความทนทานน้ำท่วมฉับพลันสูง ในขณะที่พันธุ์ PSL2 PT1 และ RD61 แสดง  
 207 ประสิทธิภาพความทนทานน้ำท่วมอยู่ในระดับหนาแน่น และ KDML105 อยู่ในระดับทนทานปานกลาง ความ  
 208 ทนทานน้ำท่วมฉับพลัน เปอร์เซ็นต์การยึดตัว ประสิทธิภาพการสังเคราะห์แสง และค่าความเขียวใบในข้าว  
 209 แต่ละพันธุ์นั้นมีความแตกต่างกัน ขึ้นอยู่กับลักษณะทางพันธุกรรมของแต่ละพันธุ์

210

211

### กิตติกรรมประกาศ

212 ขอขอบพระคุณคณาจารย์ศาสตราจารย์พิเชฐศิริวัฒน์ มหาวิทยาลัยนเรศวร ที่  
 213 ให้การสนับสนุนและเอื้อเฟื้อสถานที่ อุปกรณ์ในการดำเนินการวิจัยครั้งนี้ และขอขอบพระคุณศูนย์วิจัยข้าว  
 214 จังหวัดพิษณุโลกที่อนุเคราะห์เม็ดพันธุ์ข้าวสำหรับการทำวิจัย

215

216

### เอกสารอ้างอิง

217

- 218 คงลักษณ์ พยัคฆ์ศิรินานิน, อุบล ชินวงศ์, และสุวัฒน์ ชีระพงษ์นนากอร. 2014. การประยุกต์ใช้เทคนิคคลอร์ฟลูออเรสเซนซ์  
 219 กับพืชสวน. การเกษตรราชภัฏ 13(2), 37-46  
 220 สำนักงานเศรษฐกิจการเกษตร. 2563. สถิติการเกษตรของประเทศไทย ปี 2560. กรุงเทพมหานคร. กระทรวงเกษตรและ  
 221 สหกรณ์.  
 222 Baker, N.R. 2008. Chlorophyll fluorescence: a probe of photosynthesis *in vivo*. Annual Review of Plant  
 223 Biology, 59, 89–113  
 224 Devender, R.M. and B. Mittra. 1985. Effects of complete plant submergence on vegetative growth, grain  
 225 yield and some biochemical changes in rice plant. Plant and Soil. 87 (3): 365-374.

- 226 IRRI. 2002. Standard Evaluation System for rice (SES). International Rice Research Institute P.O. Box 933,  
227 Manila, Philippines.
- 228 Jackson, M.B., and P.C. Ram, 2003. Physiological and molecular basis of susceptibility and tolerance of rice  
229 plants to complete submergence. *Annals of Botany*, 91, .227–241
- 230 Krause, G., and E., Weis. 1991. Chlorophyll fluorescence and photosynthesis: The basics. *Plant Physiology*  
231 and *Plant Molecular Biology* 42, 313–49
- 232 Maxwell, K. and G.N. Johnson. 2000. Chlorophyll fluorescence - a practical guide. *J. Exp. Bot.*, 51, .659–668
- 233 Mongon, J., Jantasorn, A., Oupkaew, P., Prom-u-Thai, C., Rouached, H. 2017. The time of flooding  
234 occurrence is critical for yield production in rice and vary in a genotype-dependent manner.  
235 *OnLine Journal of Biological Sciences*. 17 (2), 58.65.
- 236 Misra, A. N., M. Misra, and R., Singh. 2012. "Chlorophyll Fluorescence in Plant Biology." *Biophysics* 220
- 237 Pedrós, R., Moya, I., Goulas, Y., and S., Jacquemoud. 2008. Chlorophyll fluorescence emission spectrum  
238 inside a leaf. *Photochemical & Photobiological Sciences* 7(4), 498–502
- 239 Pedersen, O., S.M. Rich and T.D. Colmer. 2009. Surviving floods: gas films improve O<sub>2</sub> and CO<sub>2</sub> exchange,  
240 root aeration, and growth of completely submerged rice. *The plant Journal*, 58, .147–156
- 241 Ram, P.C., B.B. Singh, A.K. Singh, P. Ram, P.N. Singh, H.P. Singh, L. Boamfa, F. Harren, E. Santosa, M.B.  
242 Jackson, T.L. Setter, J. Reuss, L.J. Wade, V.P. Singh and R.K. Singh. 2002. Submergence tolerance  
243 in rainfed lowland rice: physiological basis and prospects for cultivar improvement through  
244 marker-aided breeding. *Field Crops Research*, 76, .131–152
- 245 Rungrat, T., M. Awlia, T. Brown, R. Cheng, X. Sirault, J. Fajkus, M. Trtilek, M., et al. 2016. Using Phenomic  
246 Analysis of Photosynthetic Function for Abiotic Stress Response Gene Discovery. *The Arabidopsis*  
247 Book 14, e0185.
- 248 Siangliw, M., T. Toojinda, S. Tragoonrung and A. Vanavichit. 2003. Thai jasmine rice carrying QTLch9  
249 (SubQTL) is submergence tolerant. *Annals of Botany*, 91, .255-261
- 250 Toojinda, T., M. Siangliw, S. Tragoonrung and A. Vanavichit. 2003. Molecular genetics of submergence  
251 tolerance in rice: QTL analysis of key traits, *Annals of Botany*, 91, .243-253
- 252 Toojinda, T., S. Tragoonrung, A. Vanavichit, J.L. Siangliw, N. Pa-In, J. Jantaboon, M. Siangliw and S. Fukai.  
253 2005. Molecular Breeding for Rainfed Lowland Rice in the Mekong Region. *Plant Production*  
254 *Science*, 8, .330-333
- 255 Wassmann, R., S.V.K. Jagadish, K. Sumfleth, H. Pathak, G. Howell, A. Ismail, R. Serraj, E. Redona, R.K. Singh  
256 and S. Heuer. 2009. Chapter 3 Regional Vulnerability of Climate Change Impacts on Asian Rice  
257 Production and Scope for Adaptation, *Advances in Agronomy*, 102, .91-133.
- 258
- 259
- 260

## Certificate Letter

Tepsuda Rungrat,  
Department of Agricultural Science, Faculty of Agriculture Natural Resources and Environment,  
Naresuan University, Phitsanulok, Thailand

To Whom It May Concern,

**Journal of Advanced Agricultural Technologies (JOAAT)** is an international academic journal which gains a foothold in USA and opens to the world. The focus is to publish papers on Advanced Agricultural Technologies. Submitted papers will be reviewed by technical committees of the Journal and Association. The audience includes researchers, managers and operators for advanced agricultural technologies as well as designers and developers.

Herewith, JOAAT is pleased to inform that the peer-reviewed & refereed paper "Effect of Submergence at the Tillering Stage on the Maximum Quantum Yield Efficiency and Leaf Gas Films of Thai Rice" written by *Tepsuda Rungrat* will be published in Volume 7, Number 2 of JOAAT.

Sincerely Yours,

Journal of Advanced Agricultural Technologies (JOAAT)  
<http://www.joaat.com>

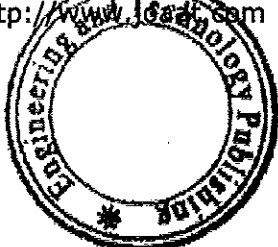


Figure A 2 Journal of Advanced Agricultural Technologies (JOAAT) Volume 7, Number 2.

# Effect of Submergence at the Tillering Stage on the Maximum Quantum Yield Efficiency and Leaf Gas Films of Thai Rice

Tepsuda Rungrat <sup>1\*</sup>

Department of Agricultural Science, Faculty of Agriculture Natural Resources and Environment, Naresuan

University, Phitsanulok 65000, Thailand

Email: [tepsudar@nu.ac.th](mailto:tepsudar@nu.ac.th)

**Abstract**— The maximum quantum yield efficiency of PSII and leaf gas film production after 10 days of complete submergence at the tillering stage was compared among six Thai rice varieties. The treatments included two growth conditions (normal growing condition as control and complete submergence). The control group was treated with the conventional growing method in plastic pots, while the complete submergence was artificially simulated and transferred into plastic tubs at 15 days after transplanting with 1-meter depth of water. Compared with the control group, the submerged group showed significant increases in plant height. The flood tolerance variety, Chonlasit, presented a small increase, but there was a non-significant difference in plant elongation after submergence compared with susceptible varieties, PSL2, PTT, RD51, RD61, and KDM105. Chonlasit showed the greatest percentage of plant survival with 91.67%, while RD61 showed the lowest with 72.55%. Leaf gas films of all six varieties were observed after 6 hrs of submergence. Chonlasit and PSL2 presented much volume of leaf gas films in comparison with other varieties. There was little change in the maximum quantum yield efficiency of PSII ( $F_v/F_m$ ) of the flood tolerance variety, Chonlasit. In contrast, the  $F_v/F_m$  value of susceptible varieties decreased significantly.

**Index Terms**— near-isogenic line, physical property, chemical property, bacterial blight

## I. INTRODUCTION

Rice is the main staple and economic food crop in Thailand for national consumption and exportation. According to the FAO, global food production will need to increase by 70% by the year 2050 due to the rise in the world population [1]. Abiotic stresses, such as drought and flood are the major challenges which impact plants in many ecosystems worldwide, resulting in rice yield reduction [2, 3]. Submergence is a severe abiotic stress for rain-fed lowland rice. Rain-fed lowland rice often becomes submerged depending on the season. Different genotypes vary in submergence tolerance [4, 5]. Research

has demonstrated that leaf gas film can promote submergence tolerance of rice [6, 7].

Leaves of submerged plants greatly restrict O<sub>2</sub> uptake from the surrounding environment, 10,000 times slower in water than in the air [8]. Photosynthetic activity occurs during the day using dissolved CO<sub>2</sub> and produces O<sub>2</sub> by submerged leaves; whereas at night, the dissolved O<sub>2</sub> in water is the only source for photosynthesis [9, 10]. The term 'leaf gas film' has been used to describe the hydrophobic body surface trait that retains a thin layer of gas [7, 11]. Leaf gas film (LGF1) was identified as the responsive gene for leaf wax composition, epicuticular wax platelet abundance, surface hydrophobicity, and, therefore, leaf gas film retention in rice [12]. This trait is considered a mechanism to enhance tissue gas exchange with water [12]. In addition, leaf gas films have been demonstrated to improve underwater photosynthesis of rice, dark respiration, root pO<sub>2</sub> and growth by greatly enhancing gas exchange of leaves under submerged conditions [7, 10]. Moreover, leaves with gas films might be able to keep stomata open when a plant is submerged, which would promote gas exchange [13].

Photosynthesis is the process that generates chemical energy from sunlight to support plant growth and development. Photosynthetic efficiency can be used as a key factor for determining plant resistance to various stresses. In recent years, chlorophyll fluorescence measurement has been widely used to reveal photosynthetic efficiency without damaging plant tissue [14, 15, 16, 17]. Generally, light energy captured by chlorophyll molecules is used in photochemical reactions to drive photosynthesis or, in the case of excess energy, it will dissipate as heat (non-photochemical quenching, NPQ) or emit chlorophyll fluorescence [18]. These three processes compete with each other; thus, by measuring the yield of chlorophyll fluorescence, the photosynthetic efficiency (photochemical reaction) and the degree of heat dissipation could also be estimated. Therefore, the current study aimed to investigate the ability of five Thai rice varieties to produce leaf gas film and compare the maximum photosynthetic efficiency among rice varieties under submergence conditions.

## II. MATERIAL AND METHODS

### A. Plant materials and growth condition

Five rice accessions, including four Thai commercial accessions (RD61, PSL2, PTT1, KDM105 and RD51) and one flood tolerance accession (Chonlasit) were used in this study. Sterilized seeds were soaked in water at 37 °C overnight to synchronize the germination. Germinated seedlings were transferred to a seedling tray with the soil water content maintained at 100%. The 21-day-old seedlings were transferred into plastic pots 25.4 cm in diameter and 30 cm high containing 4 kg of clay soil with one plant per pot. The experiment was conducted in the greenhouse at Naresuan University, Thailand, from December 2018 to April 2019.

### B. Characterization of surface gas films, flood tolerance and maximum quantum yield efficiency

Flooding was simulated artificially in a plastic tub during the tillering stage (15 days after transplanting) with 1-meter depth of tap water. Three pots per accession were transferred into the submergence condition for 10 days. After flooding treatment, plant height and survival rate were recorded.

The two youngest fully expanded leaves of an individual plant were used to observe the formation of leaf gas film. Surface gas film can be observed by the naked eye as a silvery covering of the leaf. The observations were taken on three leaf segments of 50 mm length of the first leaf. The second leaf was used as a control by eliminating the leaf gas film formation by brushing with a dilution of Triton X (0.01% v/v of Triton X-100 in sterilized water). Measurements were taken at 0, 12 and 24 hours.

The youngest fully expanded leaves were measured for the maximum quantum yield efficiency before and after the flooding treatment. The maximum quantum yield efficiency was measured using PAR-FluoPen (Photon Systems Instruments, Czech Republic). The leaf sample was dark adapted for 30 min prior to measuring. The maximum quantum yield efficiency of PSII photochemistry  $F_v/F_m$  was calculated as  $(F_m - F_0)/F_m$  [16, 18], where the minimum fluorescence ( $F_0$ ) at open PSII centers was obtained by measuring light, while the maximum fluorescence ( $F_m$ ) at closed PSII centers was determined after an application of a 0.8 s saturating light pulse (3,000  $\mu\text{mol m}^{-2}\text{s}^{-1}$ ) after being dark adapted for 30 min.

### C. Statistical Analysis

Results were expressed as the mean of five replications  $\pm \text{SE}$ . Data were analyzed using one-way analysis of variance. Duncan's multiple range test at the 95% confidence level ( $p < 0.05$ ) was used to compare the difference between genotypes. Statistical analysis was performed using the R software [19].

## III. RESULTS

### A. Plant height, elongation and %survival under submergence

Rice genotypes used in this study exhibited distinctively variable responses to the submergence for 10 days (Fig. 1a). Genotype KDM105 showed greater elongation with a highly significant difference in comparison to before being submerged. The other genotypes: PSL2, PTT1, RD51, and RD61; however, exhibited medium elongation. Plant height did not increase much in the Chonlasit cultivar, resulting in a non-significant difference compared with before submergence. Survival percentage decreased in all the cultivars due to the imposition of 10 days of submergence treatment (Fig. 1b). Survival percentage of Chonlasit was 91.76% which was the highest among all cultivars. Survival percentage was significantly greater in Chonlasit in comparison to all cultivars. Among commercial cultivars, survival percentage was the least in RD61 (72.55%).

### B. Leaf gas films under submergence

Six Thai commercial rice varieties were investigated for leaf gas film retention upon submergence (Fig. 2). The hydrophobic leaf blade surface presented immediately after submergence was seen as a silvery sheen on the leaf. Gas films on leaf blades of all six varieties could be observed during the first 6 hrs of submergence and lasted for 24 hrs. Chonlasit, RD51 and PSL2 genotypes presented greater volumes of gas films compared to other genotypes. Leaf gas films have been reported to be associated with leaf pubescence [12, 20]. Genotypes that produced much volume of gas films initially showed high values of  $F_v/F_m$  under submerged conditions. This result was similar to the study of Ref. [21]. They reported that leaves with gas films could potentially increase the carbohydrate status and increase underwater net photosynthesis, which contributes to submergence tolerance in rice. Leaf hydrophobicity and gas films on submerged leaves which related to the LGF1 gene have been confirmed to contribute to underwater photosynthesis, leading to flood tolerance in rice [12].

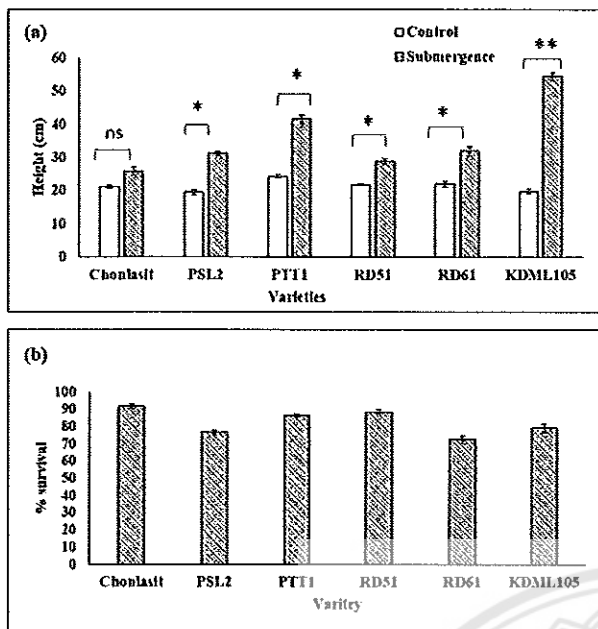


Figure 1. Plant height of 36 days-old rice plant of control and submergence condition for 10 days (a). Percentage of survival of six varieties after submergence for 10 days. The data represent average value  $\pm$  SE from five replications.

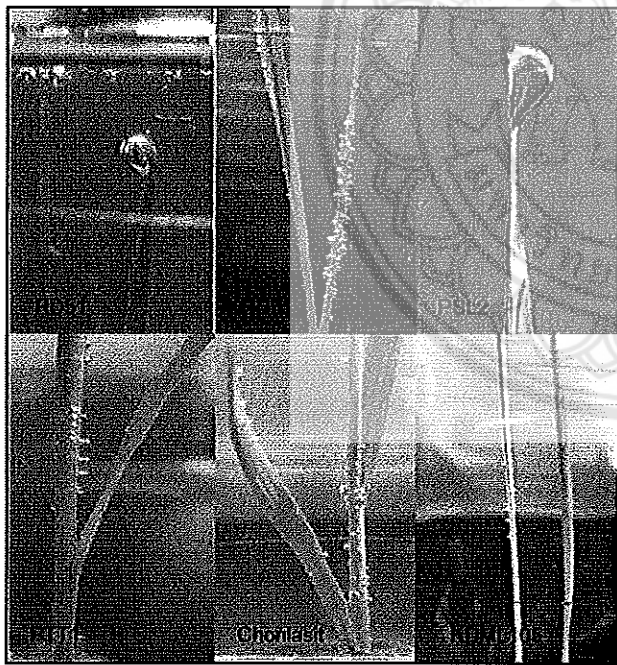


Figure 3. Leaves of six rice varieties which present gas film formation at 24 hrs after complete submergence.

### C. Changes in chlorophyll fluorescence under submergence conditions

The maximum quantum yield efficiency of PSII, as measured by chlorophyll fluorescence, was quantified for both before and after flooding treatment to determine how the submerged condition affected photosynthetic

Table 1. The maximum quantum yield efficiency of PSII ( $F_v/F_m$ ) of control plants and submerged plants of six varieties

Variety/Treatment	Control	Submergence
	$F_v/F_m$	$F_v/F_m$
Chonlasit	0.73 $\pm$ 0.02 <sup>a</sup>	0.68 $\pm$ 0.04
PSL2	0.73 $\pm$ 0.01 <sup>a</sup>	0.58 $\pm$ 0.11
PTT1	0.73 $\pm$ 0.01 <sup>a</sup>	0.59 $\pm$ 0.08
RD51	0.70 $\pm$ 0.02 <sup>ab</sup>	0.64 $\pm$ 0.07
RD61	0.71 $\pm$ 0.06 <sup>a</sup>	0.68 $\pm$ 0.02
KDML105	0.69 $\pm$ 0.05 <sup>b</sup>	0.68 $\pm$ 0.01
Mean	0.71	0.65

#### F-test

Variety	*	ns
CV%	4.86	9.77

Means in the same column followed by  $\pm$  SD

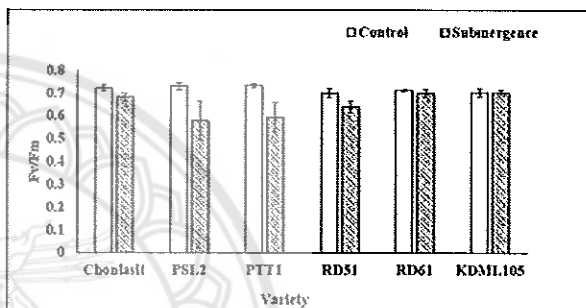


Figure 2. Comparison of the maximum quantum yield efficiency of PSII ( $F_v/F_m$ ) between the control plants and submerged plants

capacity in each variety. After 10 days of submergence, the overall performance of photosystem II (PSII) was comparatively lower compared to the control condition. As shown in Table 1, the changes in the maximum quantum yield efficiency of PSII were greater in the control group compared to the submergence group. A varietal difference was observed in  $F_v/F_m$  under the control condition which suggested that the photosynthetic potential varies in nature by genotype and could be genetically regulated. The  $F_v/F_m$  values of all varieties declined at significantly different rates under the submergence condition except for Chonlasit, RD61 and KDML105 (Fig. 3).  $F_v/F_m$  values of the three varieties: PSL2, PTT1, and RD51 decreased significantly under the submergence condition. Submergence at the tillering stage which resulted in a decrease in the maximum quantum yield efficiency of PSII can cause a reduction in yield and yield components of rice [22].

## IV. DISCUSSION

To better understand the potential genetic resources for submergence tolerance in Thai commercial rice varieties, chlorophyll fluorescence parameters were measured together with the ability of the rice leaves to maintain gas films on leaf blades. Rice leaves retained a visible gas film layer upon submergence. The occurrence of

hydrophobic leaves with gas film retention in different rice varieties is an important trait for rice to survive during submergence by continuing underwater photosynthesis [12]. There was a slight but non-significant decreased in the  $F_v/F_m$  value of Chonlasit, which has been reported to have flash flooding tolerance and non-photoperiod sensitivity [23]. This suggests that the tolerance mechanism in this variety might support the underwater photosynthesis which is linked to the high percentage of survival in comparison to other varieties. Unlike the high value of  $F_v/F_m$  after the submergence of RD61 and KDM105, this was because of the adaptation mechanism in these two varieties as seen in the high rate of plant elongation. The decrease of  $F_v/F_m$  in susceptible varieties, such as PSL2, PTT1, and RD51 suggests that using the chlorophyll fluorescence analysis to measure the maximum quantum yield efficiency of PSII is a promising method to determine plant tolerance in flood conditions.

## V. CONCLUSIONS

Although submergence condition leads to plant elongation, the maximum quantum yield efficiency of PSII and leaf gas films were presented different responses to the period of submergence in rice at the tillering stage. Our results demonstrate that rice varieties responded differently in both control and submergence conditions. Tolerate and adapted varieties showed a small reduction of  $F_v/F_m$  and the greater amount of leaf gas film formation which help plants to cope with submergence. These results should accelerate our understanding of parameters involved in tolerance and adaptation of Thai rice varieties to excess water stress.

## CONFLICT OF INTEREST

All authors declare that they have no conflict of interest and all ideas reflected in this manuscript have been agreed upon.

## AUTHOR CONTRIBUTIONS

TR conducted the research, analyzed the data and wrote the paper.

## ACKNOWLEDGMENT

We would like to thank the Bureau of Rice Research and Development, Phitsanulok, Thailand, for kindly providing the seed of rice varieties RD47, PSL2 and IRBB21.

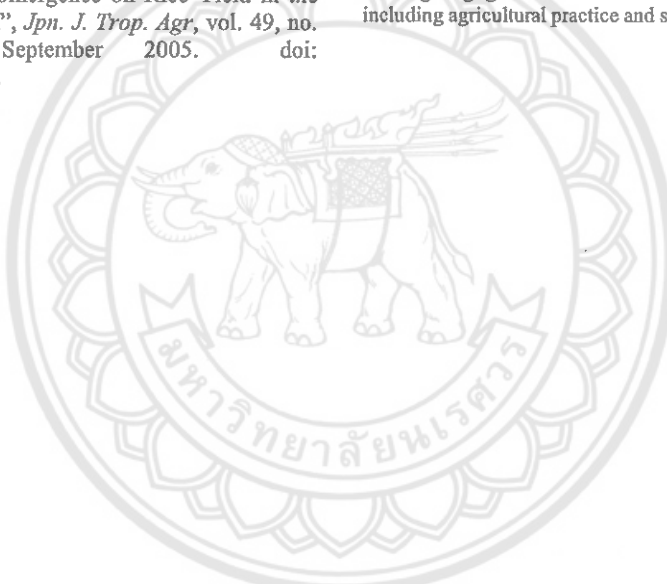
## REFERENCES

- [1] FAO. (2013). How to feed the world in 2050. *High level expert forum, issues brief*. [Online]. Available: [http://www.fao.org/fileadmin/templates/wsfs/docs/expert\\_paper/How\\_to\\_Feed\\_the\\_World\\_in\\_2050.pdf](http://www.fao.org/fileadmin/templates/wsfs/docs/expert_paper/How_to_Feed_the_World_in_2050.pdf) Accessed October 2013.
- [2] M.H. Dar, A. de Janvry, K. Emerick, D. Raitzer, and E. Sadoulet, "Flood-tolerant rice reduces yield variability and raises expected yield, differentially benefitting socially disadvantaged groups" *Scientific reports*, vol. 3, 3315, November 2013. doi:10.1038/srep03315
- [3] Y. Gao, T. Hu, Q. Wang, H. Yuan, and J. Yang, "Effect of Drought–Flood Abrupt Alternation on Rice Yield and Yield Components", *Crop Sci.* vol.59(1), pp280-292, January 2019. doi:10.2135/cropsci2018.05.0319.
- [4] T.D. Colmer, W. Armstrong, H. Greenway, A.M. Ismail, G.J.D. Kirk, and B.J. Atwell, "Physiological Mechanisms of Flooding Tolerance in Rice: Transient Complete Submergence and Prolonged Standing Water, In: Lütte U., Beyschlag W., Cushman J. (eds) Progress in Botany. Progress in Botany (Genetics - Physiology - Systematics - Ecology), vol 75. Springer, Berlin, Heidelberg, 2014, pp. 255-307.
- [5] P.C. Ram, A.K. Singh, B.B. Singh, V.K. Singh, H.P. Singh, T.L. Setter, V.P. Singh, and R.K. Singh, "Environmental characterization of floodwater in eastern India: relevance to submergence tolerance of lowland rice", *Experimental Agriculture*, vol. 35, pp.141–152. April 1999. doi:10.1017/S00144799002057.
- [6] J. Bailey-Serres, and L.A.C.J. Voesenek, "Flooding stress: acclimations and genetic diversity", *Annu. Rev. Plant Biol.*, Vol. 59, pp. 313–319, June 2008. doi:10.1146/annurev.arplant.59.032607.092752.
- [7] O. Pedersen, S.M. Rich, and T.D. Colmer, "Surviving floods: leaf gas films improve O<sub>2</sub> and CO<sub>2</sub> exchange, root aeration, and growth of completely submerged rice", *Plant J.* vol. 58, no. 1, pp. 147-56, March 2009. doi: 10.1111/j.1365-313X.2008.03769.
- [8] W. Armstrong, "Aeration in higher plants". *Advances in Botanical Research*, vol. 7, pp. 225–332. 1979. doi:10.1016/S0065-2296(08)60089-0
- [9] K. Sand-Jensen, O. Pedersen, T. Binzer, and J. Borum, "Contrasting oxygen dynamics in the freshwater isoetid *Lobelia dortmanna* and the marine seagrass *Zostera marina*", *Annals of Botany*, vol. 96, pp. 613–623, September 2005. doi: 10.1093/aob/mci214.
- [10] A. Winkel, T.D. Colmer, A.M. Ismail, and O. Pedersen, "Internal aeration of paddy field rice (*Oryza sativa* L.) during complete submergence – importance of light and floodwater O<sub>2</sub>", *New Phytologist*, vol. 197, pp. 1193–1203, March 2013. doi: 10.1111/nph.12048.
- [11] O. Pedersen, and T.D. Colmer, "Physical gills prevent drowning of many wetland insects, spiders and plants", *Journal of Experimental Biology*, vol. 215, pp. 705–709, 2012. doi: 10.1242/jeb.065128.
- [12] Y. Kurokawa, K. Nagai, P.D. Hung, K. Shimazaki, H. Qu, Y. Mori, et al, "Rice Leaf Hydrophobicity and Gas Films Are Conferred by a Wax Synthesis Gene (LGF1) and Contribute to Flood Tolerance", *New Phytologist*, vol. 218, no. 4, pp. 1558–15569, June 2018. doi:10.1111/nph.15070.
- [13] T.D. Colmer, and O. Pedersen, "Underwater photosynthesis and respiration in leaves of submerged wetland plants: gas films improve CO<sub>2</sub> and O<sub>2</sub> exchange", *New Phytol.*, vol. 177, pp. 918-926. 2008. doi:10.1111/j.1469-8137.2007.02318.x.
- [14] G. Krause, and E. Weis, "Chlorophyll fluorescence and photosynthesis: The basics", *Plant Physiology and Plant Molecular Biology*, vol. 42, pp. 313–349, June 1999. doi:10.1146/annurev.pp.42.060191.001525.
- [15] R. Pedrós, I. Moya, Y. Goulas, and S. Jacquemoud, "Chlorophyll fluorescence emission spectrum inside a leaf", *Photochemical & Photobiological Sciences*, vol.7, no. 4, pp. 498–502, April 2008. doi: 10.1039/b719506k.
- [16] N.R. Baker, "Chlorophyll fluorescence: a probe of photosynthesis in vivo", *Annual Review of Plant Biology*, vol. 59, pp. 89–113, 2008. doi: 10.1146/annurev.arplant.59.032607.092759.

- [17] T. Rungrat, M. Awlia, T. Brown, R. Cheng, X. Sirault, J. Fajkus, et al. (2016). Using Phenomic Analysis of Photosynthetic Function for Abiotic Stress Response Gene Discovery. *The Arabidopsis Book*. [Online]. 14: e0185. Available: <https://doi.org/10.1199/tab.0185>.
- [18] K. Maxwell, and G.N. Johnson, "Chlorophyll fluorescence - a practical guide", *J. Exp. Bot.*, vol.51, pp. 659–668, April 2000. doi: 10.1093/jexbot/51.345.659.
- [19] RStudio Team. "RStudio: Integrated Development for R. RStudio", Inc. Massachusetts, USA. <http://www.rstudio.com/>, 1 March 2016.
- [20] W. Konrad, J. Burkhardt, M. Ebner, and A. Roth-Nebelsick, "Leaf pubescence as a possibility to increase water use efficiency by promoting condensation", *Ecohydrology*, vol. 8, pp. 480-492, 2015. doi: /10.1002/eco.1518.
- [21] A. Winkel, O. Pedersen, E. Ella, A.M. Ismail, and T.D. Colmer, "Gas film retention and underwater photosynthesis during field submergence of four contrasting rice genotypes", *J Exp Bot*, vol. 65, no. 12, pp. 3225–3233, July 2014. doi: 10.1093/jxb/eru166.
- [22] A. Kotera, E. Nawata, L.V. Thao, N.V. Vuong, and T. Sakuratani, "Effect of Submergence on Rice Yield in the Red River Delta, Vietnam", *Jpn. J. Trop. Agr*, vol. 49, no. 3, pp. 197-206, September 2005. doi: 10.11248/jsta1957.49.197.
- [23] L. Tuntee, S. Kongsila, T. Toojinda, U. Kotchasatit, and S. Kate-ngam, "Preliminary validation of submergence tolerance of elite BC2F3 rice lines carrying Sub1 gene", *KHON KAEN AGR. J*, vol. 45, suppl. 1, pp. 1105-1111, 2017.

Copyright © 2020 by the authors. This is an open access article distributed under the Creative Commons Attribution License (CC BY-NC-ND 4.0), which permits use, distribution and reproduction in any medium, provided that the article is properly cited, the use is non-commercial and no modifications or adaptations are made.

**Tepsuda. Rungrat** is lecturer and researcher at Department of Agricultural Science, Faculty of Agriculture Natural Resources and Environment, Naresuan University, Phitsanulok, Thailandand. She received a bachelor's degree in agricultural science from Naresuan University, Thailand, a master's degree in Agricultural Science from Chiang-Mai University, Thailand, and a doctor's degree in plant biology from the Australian National University, Australia. Her expertise is on conventional plant breeding, abiotic stresses response, plant adaptation and acclimation. Her interested in how agricultural and natural environments are impacted by climate change. My particular focus is on physiological traits associated with plant responses to environmental stresses, such as drought, heat, flood, and high light intensity. Investigating gene: environment interactions in a range of systems, including agricultural practice and stress tolerance.



## เอกสารอ้างอิง

- สำนักงานเศรษฐกิจการเกษตร. 2560. สติ๊กการเกษตรของประเทศไทย ปี 2560. กรุงเทพมหานคร. กระทรวงเกษตรและสหกรณ์.
- Asseng, S., Ewert, F., Martrat, P., et al., 2015. Rising temperatures reduce global wheat production. *Nature Climate Change* 5, 143-147
- Colmer, T.D. and O. Pedersen. 2008. Underwater photosynthesis and respiration in leaves of submerged wetland plants: gas films improve CO<sub>2</sub> and O<sub>2</sub> exchange. *New Phytol.* 177, 918-926.
- Devender, R.M. and B. Mittra. 1985. Effects of complete plant submergence on vegetative growth, grain yield and some biochemical changes in rice plant. *Plant and Soil.* 87 (3): 365-374.
- Jackson, M.B., and P.C., Ram. 2003. Physiological and molecular basis of susceptibility and tolerance of rice plants to complete submergence. *Ann. Bot.* 91, 227–241.
- Jenjira, M., A. Jantasorn, P. Oupkaew, C. Prom-u-Thai, and H. Rouached. 2017. The time of flooding occurrence is critical for yield production in rice and vary in a genotype-dependent manner. *Online Journal of Biological Science.* 17 (2):58-65
- Laborte, A., Nelson, A., Jagadish, K., Aunario, J., Sparks, A., Ye, C., and Redona, E. (2012). Rice falls the heat. *Rice today.* 11(3)
- Peng, S., Huang, J., Sheehy, J.E., Laza, R.C., Visperas, R.M., Zhong, X., Centeno, G.S., Khush, G.S., and Cassman, K.G. (2004). Rice yields decline with higher night temperature from global warming. *PNAS.* 101(27):9971-9975
- Ram, P.C., Singh, B.B., Singh, A.K. et al. (2002) Submergence tolerance in rainfed lowland rice: physiological basis and prospects for cultivar improvement through marker-aided breeding. *Field Crops Res.* 76, 131–152.
- Toojinda, T., S. Tragoonrung, A. Vanavichit, J.L. Siangliw, N. Pa-in, J. Jantaboon, M. Siangliw, and S. Fukai. 2005. Molecular Breeding for Rainfed Lowland Rice in the Mekong Region. *Plant Production Science.* 8: 330-333.
- Verboven, P., O. Pedersen, Q. Tri Ho, B.M. Nicolai, and T.D. Colmer. 2014. The mechanism of improved aeration due to gas films on leaves of submerged rice. *Plant, Cell & Environment.* 37 (10):2433-52
- Vergara, B.S. (1970). Plant growth and development, pp.17-37 .In Rice Production Manual. UPLB.

- Winkel A, T.D. Colmer, A.M. Ismail, and O. Pedersen. 2013. Internal aeration of paddy field rice (*Oryza sativa* L.) during complete submergence—importance of light and floodwater O<sub>2</sub>. *New Phytologist* 197, 1193–1203.
- Wassmann, R. and et al. 2009. Regional vulnerability of climate change impacts on Asian rice production and scope for adaptation. *Adv Agron.* 102:91-133.
- Xu, K. and D.J. Mackill. 1996. A major locus for submergence tolerance mapped on rice chromosome 9. *Molecular Breeding.* 2(3): 219-224.

